

Wolfgang H. Rucker

**Latriidiidae
und
Merophysiidae
der West-Paläarktis**

Erratum und Nachtrag zur 1. Auflage: Update 01.12.2020



Wolfgang H. Rucker

Latridiidae

und

Merophysiidae

der West-Paläarktis

Erratum und Nachtrag

zur 1. Auflage

Aktualisierung am 1.12.2020



© 2020 Wolfgang H. Rucker Selbstverlag, Neuwied

IMPRESSUM

Erratum und Nachtrag zu: **Latridiidae und Merophysiidae der West-Paläarktis** **1. Auflage**

Latridiidae and Merophysiidae of the West Palaearctic Region

ISBN 978-3-00-059378-9

© Copyright 2020 by Wolfgang H. Rucker, D-56567 Neuwied, Germany
Alle Rechte vorbehalten

Das Werk einschließlich aller seiner Teile ist urheberrechtlich geschützt.
Vervielfältigen oder Verbreiten durch Photokopie oder andere Verfahren,
auch von Teilen des Buches, ist ohne schriftliche Genehmigung des Autors
und des Verlages nicht gestattet.

Das gilt insbesondere für Vervielfältigungen, Veränderungen mittels
EDV-Technik, manipulieren, Übersetzungen, Mikroverfilmungen, E-Books,
Digitalisierungen, Einspeicherungen in Internet und Intranet oder
anderer elektronischer Systeme und Datenträger.

Herausgeber	Wolfgang H. Rucker Selbstverlag Von-Ebner-Eschenbach-Straße 12 D-56567 Neuwied - Germany Internet: https://www.latridiidae.de
Umschlaggestaltung	Edeltrud Rucker und Wolfgang H. Rucker
Bildredaktion	Edeltrud Rucker
Verbreitungskarten	Wolfgang H. Rucker
DTP-Satz	Wolfgang H. Rucker, Neuwied

Umschlagbilder

Revelieria genei, *Merophysia oblonga* und *Metophthalmus lacteolus*
(Zeichnungen: Wolfgang H. Rucker)

Bibliographische Information der Deutschen Bibliothek

Die Deutsche Bibliothek – CIP-Einheitsaufnahme

Printed in Germany / Imprimé en Allemagne

Erratum

Auf den Seiten 83, 126, 129 sind versehentlich Abbildungsnummern vertauscht worden.
Auf den Seiten 205, 210, 229, 230 sind die Abbildungen der Aedoeagi vertauscht worden.

Ich bitte dieses Versehen zu entschuldigen und stelle hiermit die Fehler richtig.

On pages 83, 126, 129 illustration numbers have been inadvertently swapped.
On pages 205, 210, 229, 230 the illustrations of the Aedoeagi have been swapped.

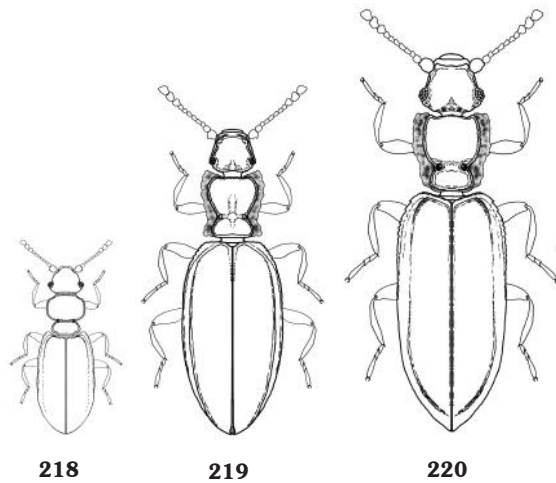
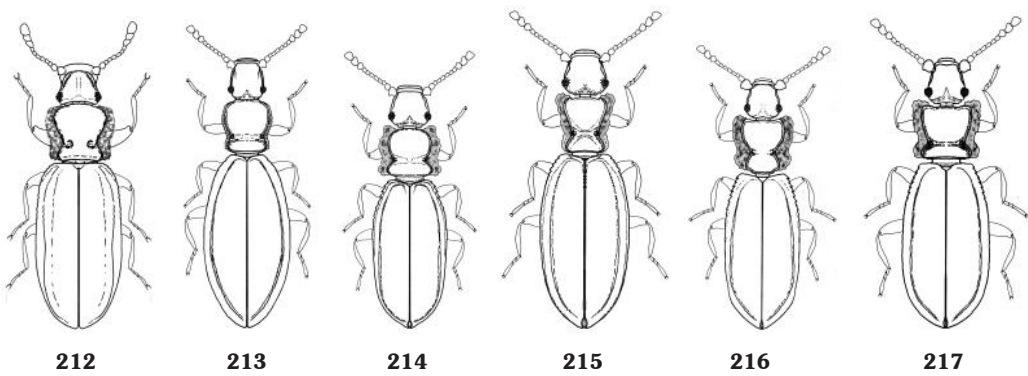
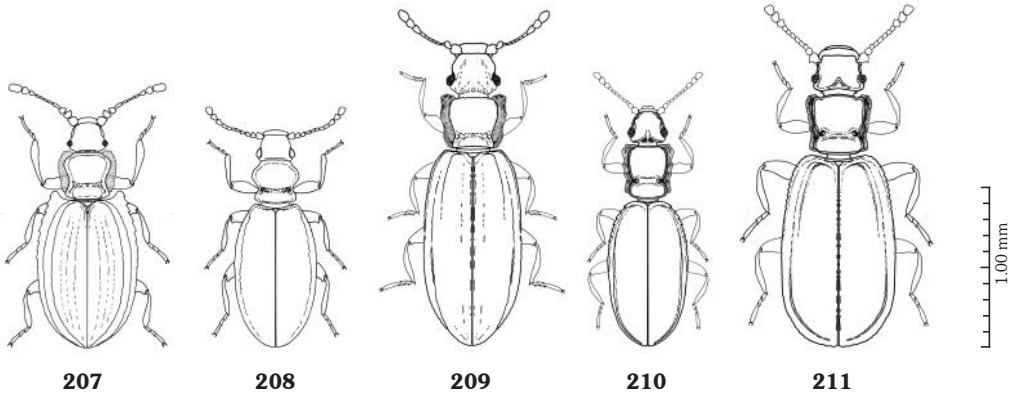
I apologize for this oversight and hereby correct these errors.

Aux pages 83, 126, 129 numéros d'illustration ont été échangés par inadvertance.
Aux pages 205, 210, 229, 230 les illustrations des Aedoeagi ont été échangées.

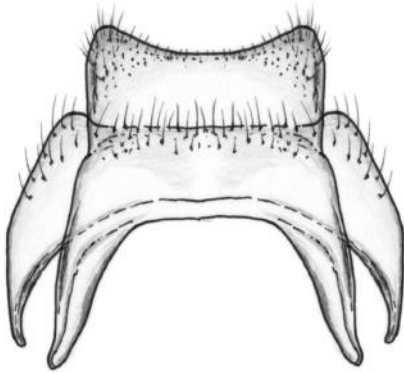
Je m'excuse de cet oubli et corrige par la présente ces erreurs.

Übersicht 1 der Gattung *Dienerella* REITTER, 1911

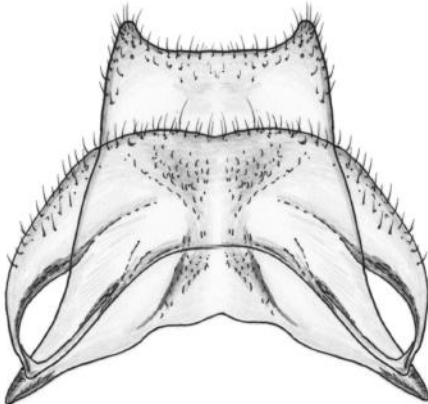
Untergattung *Cartoderema* REITTER, 1911



- 207. *Dienerella marginata* RÜCKER, 1983
- 208. *Dienerella ruficollis* (MARSHAM, 1802)
- 209. *Dienerella vincenti* JOHNSON, 2007
[*Dienerella elongata* (CURTIS, 1830)]
- 210. *Dienerella parilis* (REY, 1889)
- 211. *Dienerella polyhymnia* RÜCKER & POGGI 2013
- 212. *Dienerella siciliana* VINCENT, 1990
- 213. *Dienerella aequalis* (REITTER, 1878)
- 214. *Dienerella separanda* (REITTER, 1887)
- 215. *Dienerella clathrata* (MANNERHEIM, 1844)
- 216. *Dienerella huguettae* VINCENT, 1991
- 217. *Dienerella corsica* VINCENT, 1991
- 218. *Dienerella anatolica* (MANNERHEIM, 1844)
- 219. *Dienerella besucheti* VINCENT, 1994
- 220. *Dienerella angelinii* RÜCKER, 1989



337



338



339



340



341



Abb. 337–341. Aedoeagi und letzte Tergite der *Latridius minutus*-Gruppe

337. Letztes Tergit von *Latridius minutus* (LINNAEUS, 1767).

338. Letztes Tergit von *Latridius porcatus* HERBST, 1793.

339. Aedoeagus ventral von *Latridius minutus* (LINNAEUS, 1767).

340. Aedoeagus ventral von *Latridius porcatus* HERBST, 1793.

341. Aedoeagus ventral von *Latridius regalis* JOHNSON & RÜCKER, 2012.

Gattung *Lithostygnus*
BROUN, 1886

Lithostygnus serripennis
BROUN, 1914

Kleine Käfer von 1,28–1,38 mm Länge und schmutzig brauner bis dunkelbrauner Farbe, die etwas an die Gattung *Metopthalmus* erinnern, aber anhand der Abbildung nicht verwechselt werden kann. Bisher nur diese eine Art in Europa.

Kopf auf der Scheibe mit zwei parallel verlaufenden Kielen, die bis zur Stirn reichen. Vom Hinterrand der Augen eine schräg zur Kopfmitte verlaufende Leiste und vom Vorderrand der Augen eine etwas geschwungene schräg nach vorne verlaufende Leiste. Beide Leisten schließen eine ovale Vertiefung ein. Augen sehr klein, Durchmesser etwa 0,036 mm, aus nur 6–8 schwarzen Facetten bestehend.

Pronotum breiter als lang, Seitenrand breit und flach abgesetzt mit 10–12 kleinen spitzen Zähnchen, an den Hinterecken ein kräftiger spitzer Zahn. Vor der Basis eine tiefe quer verlaufende Vertiefung, die beiderseits in einem tiefen Grübchen endet.

Elytren breit oval, Zwischenraum eins, drei und fünf rund erhaben, jede Elytre mit sechs Punktreihen, 18 Punkte an der Naht, Seitenrand an den Schultern breit und abgeflacht, von oben bis fast zur Spitze sichtbar.

Tarsen 3–3–3 bei Männchen und Weibchen, kein sichtbarer Sexualdimorphismus. Habitus (Abb. 357).

Verbreitung.

Europa: Importiert nach England, Deutschland und den Niederlanden.

Australische Region.

***serripennis* BROUN, 1914**

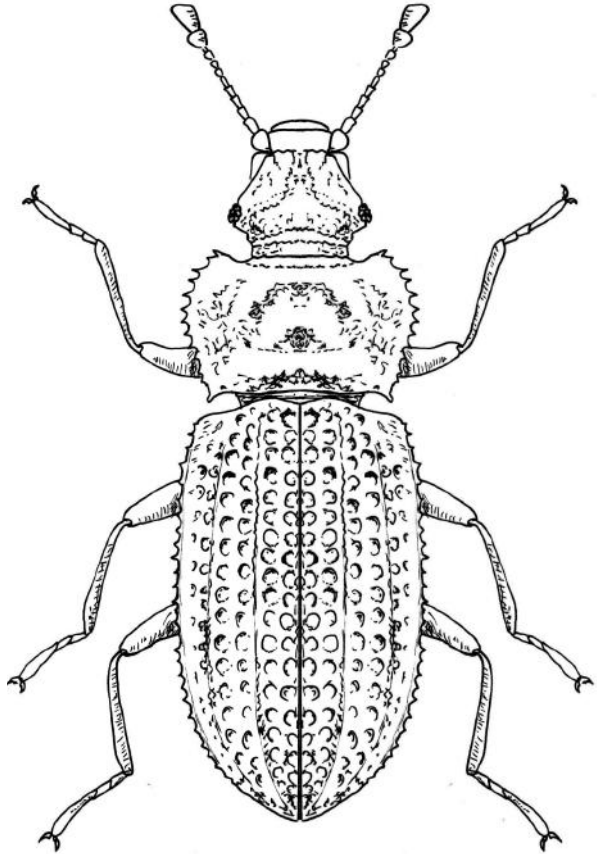


Abb. 357. *Lithostygnus serripennis* BROUN, 1914

Länge 1,28–1,38 mm

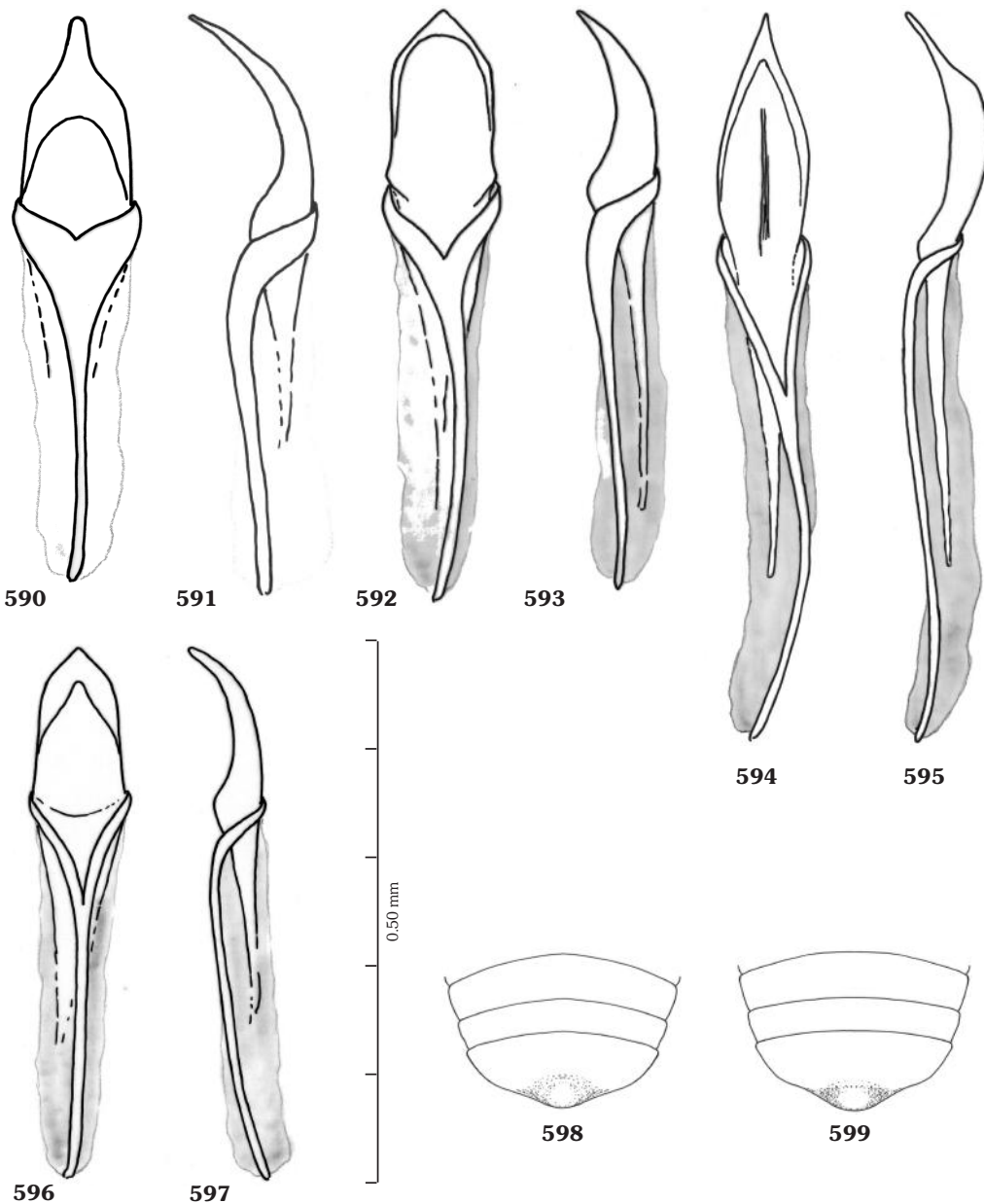


Abb. 590–599. Aedoeagi der *Corticaria sylvicola* Gruppe

- 590.** *Corticaria anatolica* JOHNSON, 1989, Aedoeagus ventral.
591. *Corticaria anatolica* JOHNSON, 1989, Aedoeagus lateral.
592. *Corticaria suspecta* JOHNSON, 1989, Aedoeagus ventral.
593. *Corticaria suspecta* JOHNSON, 1989, Aedoeagus lateral.
594. *Corticaria fulvoides* JOHNSON, 1989, Aedoeagus ventral.
595. *Corticaria fulvoides* JOHNSON, 1989, Aedoeagus lateral.
596. *Corticaria cretica* JOHNSON, 1989, Aedoeagus ventral.
597. *Corticaria cretica* JOHNSON, 1989, Aedoeagus lateral.
598. *Corticaria espanyola* OTERO & LÓPEZ, 2009, Abdomen der Männchen, letztes Sternit.
599. *Corticaria distincta* ДАЛЮЗ, 1970, Abdomen der Männchen, letztes Sternit.

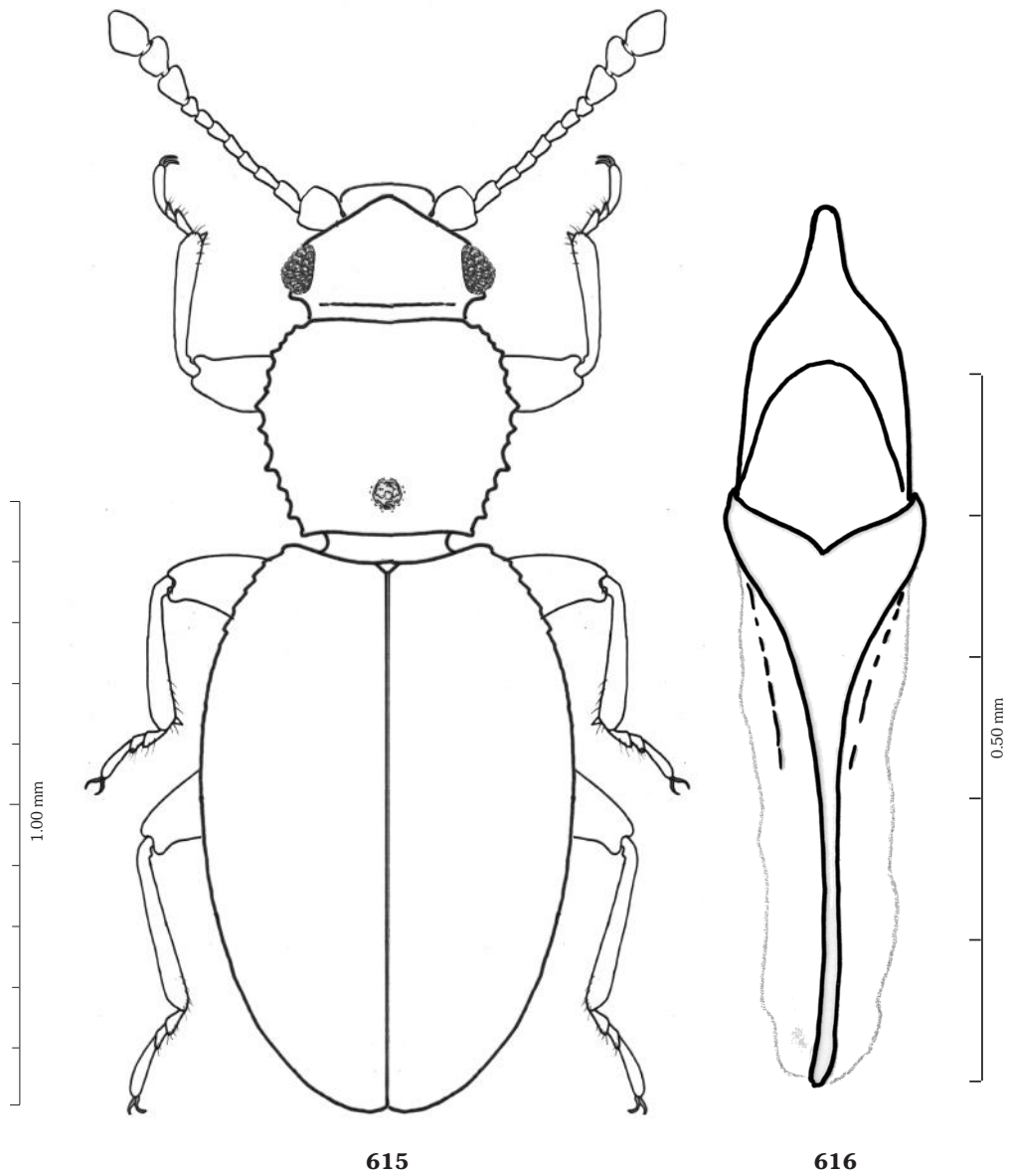


Abb. 615–616. *Corticaria anatolica* JOHNSON, 1989

Abb. 615. *Corticaria anatolica* JOHNSON, 1989, Länge 1,50–1,60 mm, \varnothing 1,550 mm.

Abb. 616. *Corticaria anatolica* JOHNSON, 1989, Aedoeagus ventral.

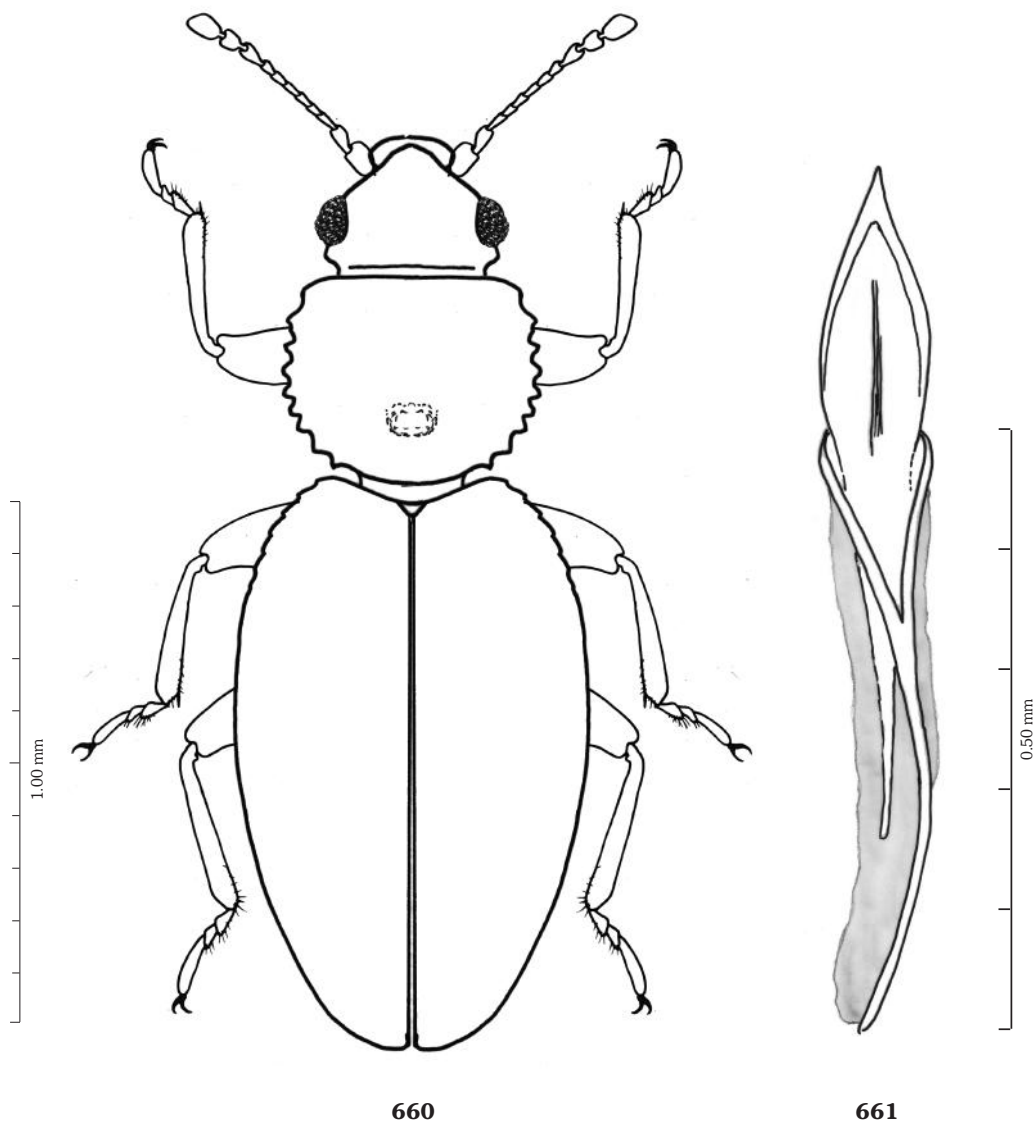


Abb. 660–661. *Corticaria fulvoides* JOHNSON, 1989

Abb. 660. *Corticaria fulvoides* JOHNSON, 1989, Länge 1,70–1,80 mm, \varnothing 1,750 mm

Abb. 661. *Corticaria fulvoides* JOHNSON, 1989, Aedoeagus ventral.

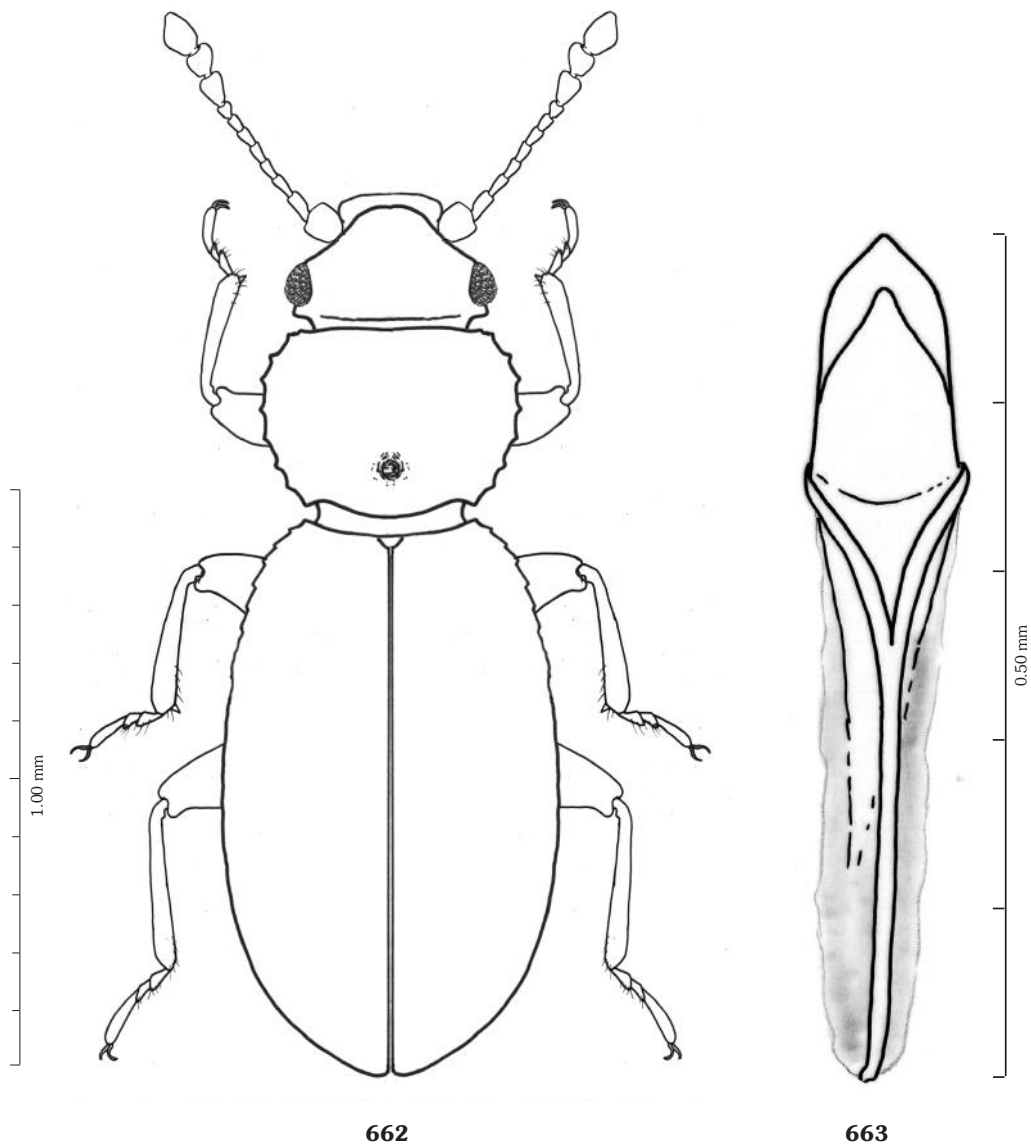
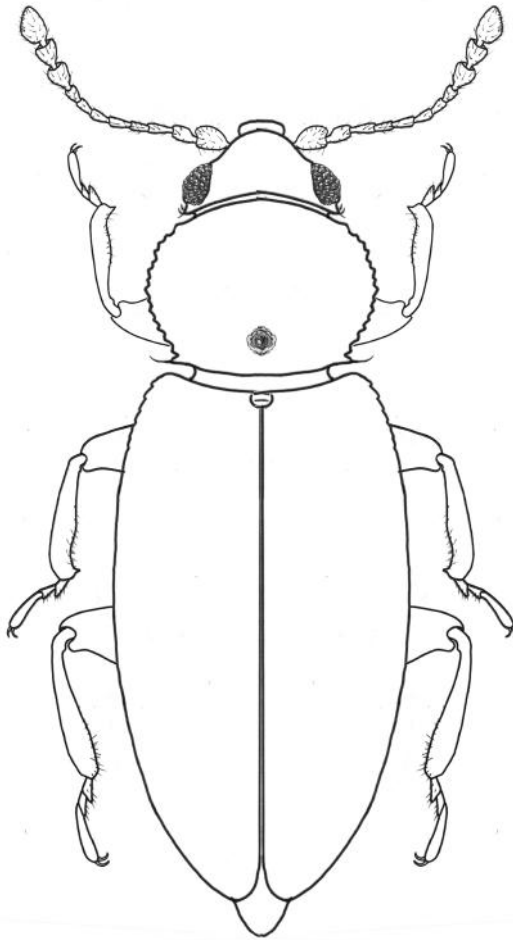


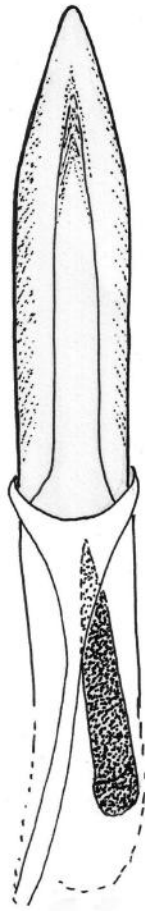
Abb. 662–663. *Corticaria cretica* JOHNSON, 1989

Abb. 662. *Corticaria cretica* JOHNSON, 1989, Länge 1,45–1,55, mm, \varnothing 1,500, mm.

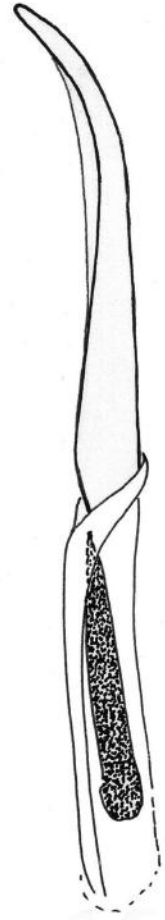
Abb. 663. *Corticaria cretica* JOHNSON, 1989, Aedoeagus ventral.



699

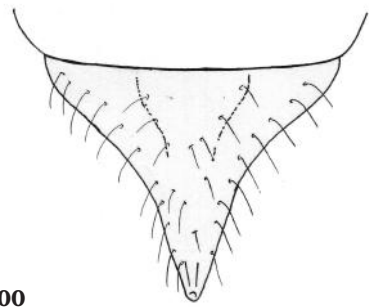


701



702

0.50 mm



700

Abb. 699–702. *Corticaria crenulata* (GYLLENHAL, 1827) Länge: 2,18–2,60 mm, \varnothing 1,900 mm
699. *Corticaria crenulata* (GYLLENHAL, 1827), Habitus Männchen.
700. *Corticaria crenulata* (GYLLENHAL, 1827), Sternit V der Männchen.
701. *Corticaria crenulata* (GYLLENHAL, 1827), Aedoeagus ventral.
702. *Corticaria crenulata* (GYLLENHAL, 1827), Aedoeagus lateral.

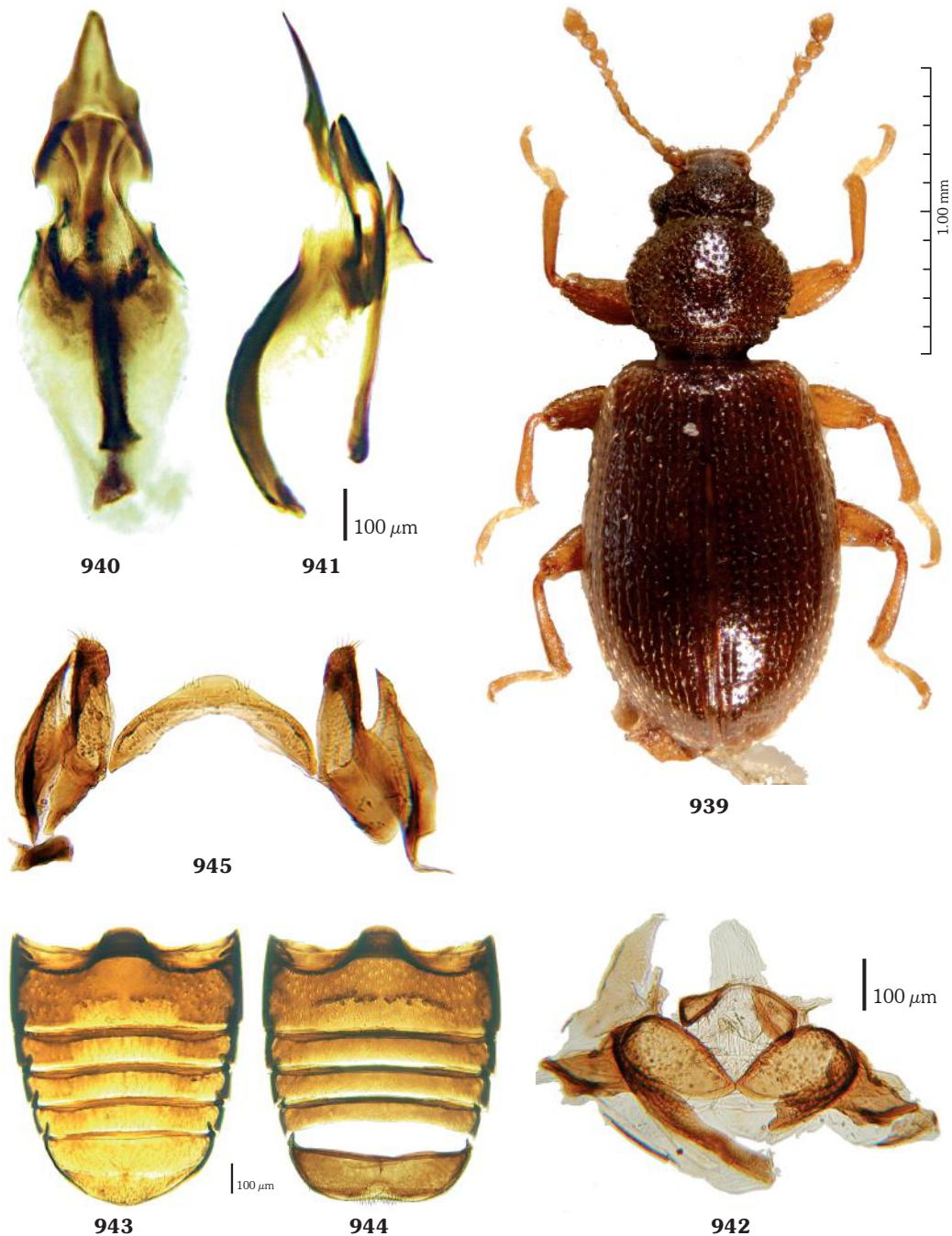


Abb. 939-945. *Corticaria interstitialis* MANNERHEIM, 1844

939 ♂, Habitus.

940. Aedeagus ventral.

941. Aedeagus lateral.

942. ♀, Genital

943. ♀, Sternit I-V.

944. ♂, Sternit I-V.

945. ♂, Abdominal apex.

Berichtigungen

***Dienerella aequalis* (REITTER, 1877)**

Auf den Seiten 72, 83, 89 und 373 sind die Jahreszahl von *Dienerella aequalis* (REITTER, 1878) in *Dienerella aequalis* (REITTER, 1877) abzuändern.

Diese Angabe ist auch im Catalogue of Palaearctic Coleoptera, Vol. 4. Johnson, 2007 mit Jahreszahl 1878 falsch angegeben.

***Dienerella elegans* (AUBÉ, 1850)**

Auf den Seiten 84, 92 und 94 sind die Jahreszahl von *Dienerella elegans* (AUBÉ, 1884) in *Dienerella elegans* (AUBÉ, 1850) abzuändern.

Faunistische Ergänzungen

Latridiidae ERICHSON, 1842

Euchionellus zanzibaricus (BELON, 1887)

Seite 118 und 398.

Euchionellus zanzibaricus (BELON, 1887) wurde bisher noch nicht in Polen nachgewiesen (PLEWA R. & JAWORSKY T. 2019).

Aufgrund einer Untersuchung der beiden Autoren, des als *Metopthalmus albofasciatus* REITTER (= *Euchionellus zanzibaricus* (BELON, 1887)) bezeichneten Tieres aus Polen von 1965 wurde festgestellt, dass es sich um *Synchita variegeta* HELLWIG, 1792 (Zopheridae) handelt.

Corticarina alemannica SCHILLER, 1984

Neufunde von *Corticarina alemannica* SCHILLER, 1984 im südlichen Schwarzwald, Baden-Württemberg, Deutschland (SCHÜNEMANN, 2019).

Es wurden ein Männchen in einer Rahnfalle und ein Weibchen an einem Leimring von Herrn JOCHEN SCHÜNEMANN nachgewiesen (geprüft RÜCKER 2018).

Stephostethus productus (ROSENHAUER, 1856)

Erstfund in Griechenland im Südosten der Insel Korfu: Moraitika, V. 2019, leg. Max Sieber.

Bisherige Funde in: Europa: Südliches Frankreich, Korsika, südliches Italien, Sardinien, Sizilien, Kroatien, Portugal, Spanien, Nordafrika: Marokko, Algerien, Tunesien, Kanarische Inseln.

Beschreibung und Abbildungen: (RÜCKER 2018) Abb. 472 Seite 159; Abb. 492 Seite 162.

Corticaria interstitialis MANNERHEIM, 1844

Weitere Meldungen aus Deutschland:

1 ♂, 1 ♀, Bayerischer Wald, 2001, HANS-PETER REIKE.

1 ♂, Bayerischer Wald, 2007, Heinz Bußler.

1 ♂, Niedersachsen, WAFI, Neustadt/Rbg. Himmelr., Kampenb., 01.V.1993, JENS ESSER.

1 ♂, Sachsen, Oberlausitz, Großschönau., mit Autokäscher, 30.VII.1993, MAX SIEBER.

1 ♂, Harz, Baumelektor an einer toten Fichte im lichten Moorfichtenbestand, Hochfläche im Oberharz (Nationalpark), 2009, THOMAS MEINEKE.

1 ♀, Harz, Niedersachsen., Bruchberg 835 m UF 1, 28.05.2009, NP-Verwaltung, THOMAS MEINEKE.

1 ♂, Harz, NI/NP Harz, Braunlage, Oderbrück Nord, Nähe Wasserwerk, 820 m, 23.V.-13.VI.2019, Fensterfalle, 51,78057°N 10,55448°E, 1 ♀, Harz, Halberstadt, Umgebung Athenstedt, MTB 4031/4, 7.-27.VI.2019, Fensterfalle, 1 ♀, NP Harz, Umgebung Braunlage, 750 m, B4 nordwestlich Königskrug, 23.VII-13.VIII.2019 Fensterfalle, 51,74965°N 10,56395°E, MANFRED JUNG.

1 ♂. Naturwaldreservat „Zwickfilz“ östlich von Philippsreuth an der deutsch-tschechischen Grenze (Spirkenmoor mit Fichtenmoorrandwald, „Kälteloch“) in einem Eklektor im Kronenbereich einer gefällten Fichte, HEINZ BUSSLER.

Corticaria interstitialis MANNERHEIM, 1844 hat offenbar Vorlieben für Moorfichtenbestände mit Spirken (Moor-Kiefer: *Pinus rotundata*) und ist als extrem selten einzustufen.

Ich zähle diese Art zu den gefährdeten Arten der Latridiidae und sollte aufgrund der extremen Seltenheit in die Rote Liste aufgenommen werden.

Mein Dank gilt allen vorgenannten Herren für die Funddaten und der Genehmigung diese zu veröffentlichen.

Nachträge

Nachtrag

Hier werden in Zukunft Nachträge von Neubeschreibungen und Bemerkungen zu Variationen innerhalb einer Art oder auch regionale Unterscheide von Habitus und Aedoeagi beschrieben.

Auch möchte ich nochmals auf die große Variabilität der Latridiidae und Merophysiidae hinweisen, sowie möglicher regionaler Unterschiede und Abweichungen der Aedoeagi.

Die Abbildungen der Aedoeagi geben jeweils die Charakteristik wieder, siehe auch die regionalen Unterschiede von *Corticaria serrata* (PAYKULL, 1798) Seite 305, Abweichungen und Variationen sind also immer möglich.

Dieser Nachtrag wird in regelmäßigen Zeitabständen erweitert und ergänzt und kann jederzeit über meine Internetseite:

„<https://www.latridiidae.de>“ als kostenloser Download als PDF-Datei heruntergeladen werden.

Diese Internetseiten werden später von meinem Freund, Dr. HANS-PETER REIKE, fortgeführt.

Akronyme und Literaturhinweise beziehen sich auf das Buch, neue hinzugekommene Akronyme und Literaturhinweise werden am Ende des Nachtrages ergänzend angefügt.

Addendum

In the future, supplements to new descriptions and remarks on variations within a species, or regional differences between habitus and aedoeagi will be described here.

I would also like to point out again the great variability of Latridiidae and Merophysiidae, as well as possible regional differences and deviations of Aedoeagi.

The figures of the Aedoeagi show the characteristics, see also the regional differences of *Corticaria serrata* (PAYKULL, 1798) page 305, deviations and variations are always possible.

This supplement will be extended and supplemented at regular intervals and can be downloaded at any time as a free PDF file from my website „<https://www.latridiidae.de>“.

These internet pages will be continued later by my friend Dr. HANS-PETER REIKE.

Acronyms and references to literature refer to the book, new acronyms and references to literature are added at the end of the supplement.

Addenda

A l'avenir, des compléments aux nouvelles descriptions et remarques sur les variations au sein d'une espèce, ou les différences régionales entre habitus et aedoeagi, seront décrits ici.

Je voudrais également souligner à nouveau la grande variabilité des Latridiidae et des Merophysiidae, ainsi que les différences et déviations régionales possibles des Aedoeagi.

Les figures des Aedoeagi montrent les caractéristiques, voir aussi les différences régionales de *Corticaria serrata* (PAYKULL, 1798) page 305, des écarts et des variations sont toujours possibles.

Ce supplément sera étendu et complété à intervalles réguliers et peut être téléchargé à tout moment sous forme de fichier PDF gratuit sur mon site Internet: „<https://www.latridiidae.de>“.

Ces pages Internet seront poursuivies plus tard par mon ami Dr. HANS-PETER REIKE.

Les acronymes et les références à la littérature renvoient au livre, de nouveaux acronymes et des références à la littérature sont ajoutés à la fin du supplément.

Dienerella talassemntana Otero & Benyahia & Brustel, 2017

Dienerella talassemntana OTERO & BENYAHIA & BRUSTEL, 2017.

Typen. Holotype ♂: Marokko, Rif, Talembote, P.N. Talassemntane, 10-13.XI.2015, leg. H. BRUSTEL (USCO).

Paratypen: 1 ♂ Marokko, Rif, P.N. Talassemntane, 13.XI.2015, leg. O. COURTIN (COCC); 1 ♀ Marokko, Rif, Talembote, P.N. Talassemntane, 10-13.XI.2015, leg. H. BRUSTEL (MNHN); 1 ♀ Marokko, Rif, Talembote, P.N. Talassemntane, 10-13.XI.2015, leg. H. BRUSTEL, (CBT); 1 ♀ Marokko, Rif, Talembote, P.N. Talassemntane, 10-13.XI.2015, leg. H. BRUSTEL (CWR).

Etymologie. Diese Art wurde nach der Region benannt, in der das Typenmaterial gesammelt wurde.

Diagnose. Farbe gelbbraun, Elytren im Profil fast gerade, nach hinten ansteigend, Flügeldeckenabsturz steil und hinten offen (Abb. 1411). Ähnlich der *Dienerella besucheti* VINCENT, 1994, unterscheidet sich aber durch das deutlich schmalere Pronotum, den Aedoeagus und das letzte Tergit der Männchen (Abb. 1409 und 1410). Länge 1,16–1,31 mm. Habitus (Abb. 1407).

Beschreibung. Kopf. Breite zur Länge im Verhältnis 1: 0,83. Augendurchmesser 0,057 mm, Schläfen keine, Fühlerlänge 0,314 mm, Oberfläche grob runzelig.

Pronotum. Breite zur Länge im Verhältnis 1: 1,32. Hinterrand schmaler als der Vorderrand. Einzug des Seitenrandes vor der Basis etwa so breit wie die Breite des Kopfes an den Schläfen, die Querfurche vor der Basis schwach ausgeprägt und endet in kleinen Grübchen nahe am Seitenrand. Seitenrand schwach wulstig verstärkt. Oberfläche grob runzelig.

Elytren. Breite zur Länge im Verhältnis 1: 1,88. Punkte groß, Anzahl Punkte ca. 20, sechs Punktreihen pro Elytre, Zwischenraum fünf vorne schwach kielförmig, nach hinten stärker kielförmig, alle anderen Zwischenräume mehr oder weniger flach, ohne Behaarung, etwas glänzend, Flügeldeckenabsturz (Elytral declivity) hinten offen (Abb. 1411), Seitenrand schmal, ab dem letzten Drittel

von oben sichtbar, zu den Schultern breiter werdend. Elytren im Profil fast gerade, nach hinten ansteigend und steil abfallend.

Aedoeagus. Mit sehr langer Spitze, ähnlich der von *Dienerella besucheti* VINCENT, 1994, die aber mit hufeisenförmigen inneren Strukturen sich darstellt, die bei *Dienerella talassemntana* OTERO & BENYAHIA & BRUSTEL, 2017 nicht hufeisenförmig gestaltet ist, sondern gerade und kurz (Abb. 1410).

Bionomie und Ökologie. In schimmelnden Pflanzenabfällen.

Verbreitung. Nordafrika: Marokko.

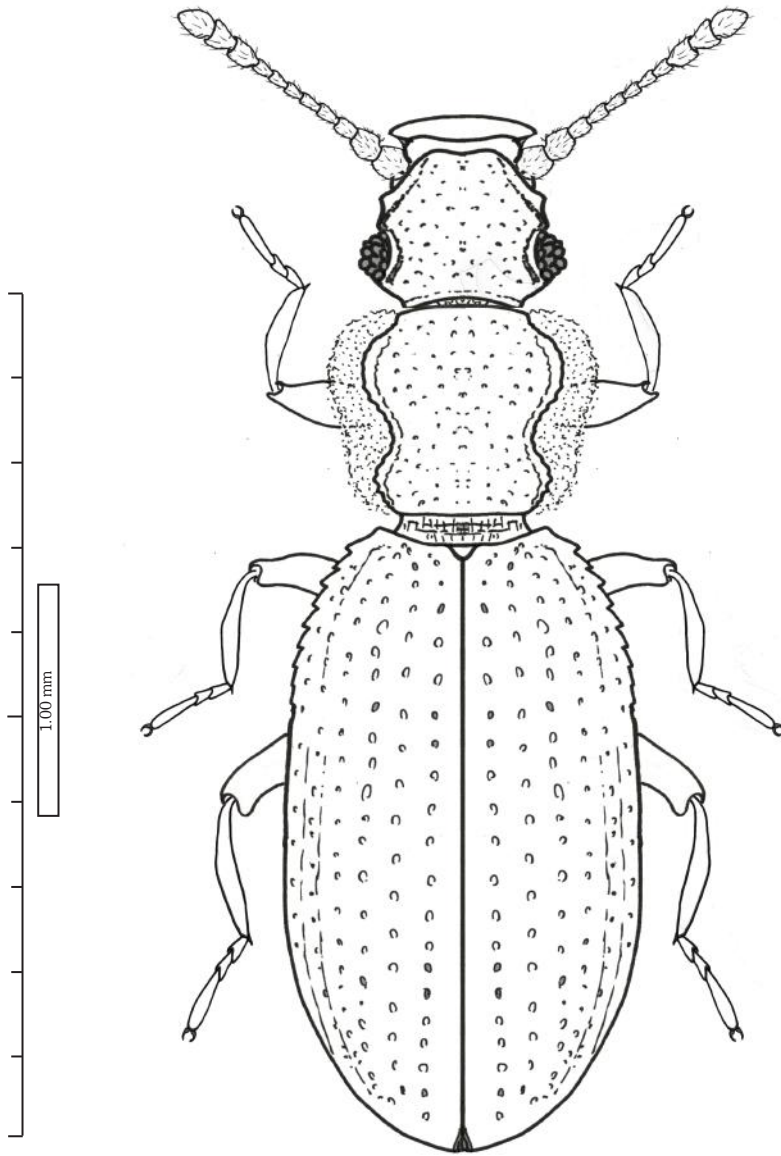
Akronyme

CBT Sammlung H. BRUSTEL, Toulouse, Frankreich.

COCC Sammlung O. COURTIN, Castres, Frankreich.

CWR Sammlung W. H. RÜCKER, Neuwied Deutschland.

USCO Universidad de Santiago de Compostella, Sammlung J. C. OTERO, Santiago de Compostella, Spanien.

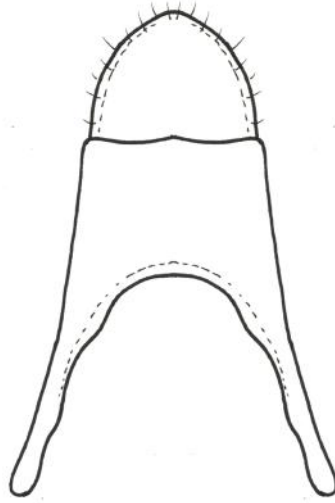


1407

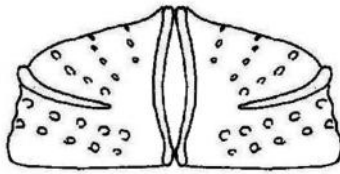
Abb. 1407. *Dienerella talasemtana* OTERO & BENYAHIA & BRUSTEL, 2017
Habitus, Länge 1,16–1,31 mm.



1408



1409



1411



1410

Abb. 1408–1411. *Dienerella talasemtana* OTERO & BENYAHIA & BRUSTEL, 2017

Abb. 1408. Fühler.

Abb. 1409. Letztes Tergit Männchen ♂.

Abb. 1410. Aedoeagus.

Abb. 1411. Flügeldeckenabsturz (Elytral declivity) ♂ und ♀.

Taxonomie und Verbreitung von *Euchionellus zanzibaricus* (BELON, 1887) sowie Morphologie der Larven (Coleoptera, Latridiidae)

HANS-PETER REIKE

Taxonomische Stellung und Determination

Euchionellus zanzibaricus beschrieb BELON 1887 ursprünglich in der Gattung *Metophthalmus* nach einem Tier, welches von RAFFRAY „am Abend aus feuchtem Mähgut“ – vermutlich gesiebt (Anm. des Autors) – wurde (BELON, 1887). Ein Synonym zu der Art stellt *Metophthalmus albofasciatus* REITTER, 1891 mit dem Fundort Japan dar.

Euchionellus publizierte REITTER 1908 als Untergattung von *Metophthalmus*. In diese Untergattung stellte er lediglich die Art *M. albofasciatus* REITTER, 1891. SCOTT (1922) fertigte eine Wiederbeschreibung der Art an und verdeutlicht dabei die Unterschiede zu anderen Vertretern der Gattung *Metophthalmus*. 1941 wurde die Untergattung ohne besondere Kennzeichnung im Text in den Rang einer Gattung erhoben (HINTON 1941).

Die Typusart ist *Metophthalmus albofasciatus* REITTER, 1891 = *Metophthalmus zanzibaricus* BELON, 1887. Die Synonymie beider Arten stellte JOHNSON (1973) fest und manifestierte in derselben Publikation zugleich nochmals den Gattungsstatus von *Euchionellus*.

Euchionellus gehört zur Unterfamilie der Latridiinae ERICHSON, 1842. Die Elytren lassen sich leicht trennen, die einzige Art der Gattung ist flugfähig, die Vorderhüften sind getrennt. Auf dem Pronotum finden sich keine Kiele. Der Kopf ist nach vorn nicht oder nur wenig verlängert, die Fühler stehen relativ dicht vor den Augen. Nach der Bestimmungstabelle von RÜCKER (2005) müsste demnach die Gattung zwischen LATRIDIUS und ENICMUS eingefügt werden. Aufgrund der Tatsache, dass der Prosternalfortsatz nicht gekielt oder erhöht ist, muss *Euchionellus* nur noch von *Latridius* unterschieden werden, wobei *E. zanzibaricus*

10gliedrige Fühler besitzt, während die *Latridius*-Arten 11gliedrige Fühler aufweisen.

Nach der Bestimmungstabelle von REITTER (1887) wird man aufgrund der getrennten Vorderhüften zu den „Lathridiini“ geleitet. Man folgt dem Punkt „Kopf mit Augen, Fühler am Seitenrande, weit vor den Augen eingefügt“ und wäre nun aufgrund der Zahl der Fühlerglieder bei *Metophthalmus* angekommen. Die Gattung *Euchionellus* (Abb. 1412) unterscheidet sich von *Metophthalmus* dadurch, dass der Unterrand des Kopfes bei *Metophthalmus* von oben sichtbar ist und die Schläfen nicht winkelig vortreten (RÜCKER 2005; Abb. 1413). Außerdem sind die derzeit bekannten *Metophthalmus*-Arten flugunfähig und besitzen maximal Flügelstummel. Da *E. zanzibaricus* aber flugfähig ist, erreicht man am Ende wieder die Nähe der Gattung *Latridius*, von deren Vertretern *E. zanzibaricus* durch 10gliedrige Fühler und die Strukturen des Halsschildes klar abgegrenzt werden kann.

Der Aedoeagus ist bei *E. zanzibaricus* fest mit dem Hinterleibsende verbunden (Abb. 1414). Insofern sind die Genitalstrukturen eher vergleichbar mit denen von *Stephostethus* und *Latridius* als denen von *Metophthalmus*. Der Hinterleib des Weibchens von *E. zanzibaricus* ist in Abb. 1415 dargestellt.

Die taxonomische Berechtigung der Gattung *Euchionellus* ist unbestritten.

Verbreitung

SCHILSKY schreibt bereits 1909, dass die Art nach Deutschland durch Handel eingeschleppt wurde. HORION (1961) erwähnt die Fundorte Japan, Hamburg und Dresden, berichtet aber, dass ihm hierzu

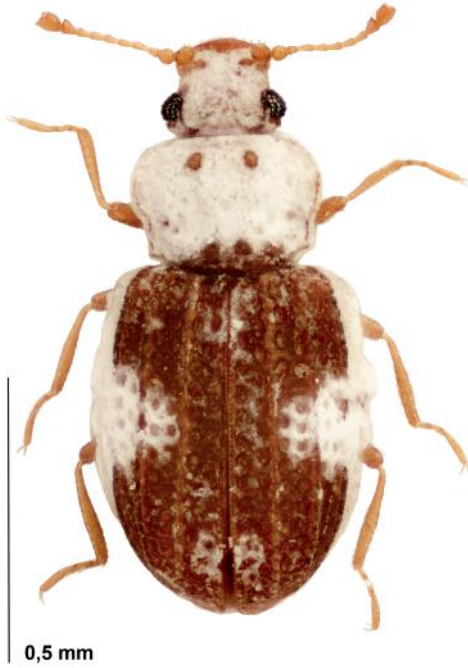


Abb. 1412.

Euchionellus zanzibaricus (BELON, 1887).



Abb. 1413.

Metopthalmus obscurus REIKE & RÜCKER, 2010.



Abb. 1414.

Euchionellus zanzibaricus (BELON, 1887) Männchen,
Sternite, Tergite und Aedeagus (v.l.n.r.).



Abb. 1415.

Euchionellus zanzibaricus (BELON, 1887) Weibchen,
Tergite und Sternite (v.l.n.r.).

keine Belege bekannt sind. In den Senckenberg Naturhistorischen Sammlungen Dresden findet sich lediglich ein mit „Dresden“ etikettiertes Tier in der Sammlung HÄNEL, welches vermutlich um die Jahrhundertwende 1900 gefangen wurde.

HETSCHKO (1926) erwähnt für die damals noch separat aufgeführten Arten *E. albofasciatus* und *E. zanzibaricus* folgende Verbreitung: Japan, Deutschland und Zanzibar. SCOTT (1922) gibt als neue Fundorte die Seychellen (17 Exemplare, 9/1908, Mahé, Silhouette, Mare Aux Cochons, von einem wenige Wochen alten Dach aus einheimischen Palmblättern geklopft, leg. H. SCOTT; 1 Tier Mahé, Morne Blanc; ein Tier Mahé, Cascade Estate) und Java (4 Ex. coll. BOWRING, British Museum in London) an. JOHNSON (1973) erwähnt die Fundorte Zanzibar, Japan, Deutschland, Seychellen, Java und China (eine Serie von Individuen soll im British Museum in London mit den Funddaten „China, Foochow, 1936-37, leg. M. S. YANG“ vorhanden sein). JOHNSON (2007) gibt als Verbreitung Europa (Deutschland und Polen), Asien (Japan) sowie die afrotropische, australische und orientalische zoogeographische Region an. Die Art wurde an Maniok-Wurzeln gefunden (HAGSTRUM, & SUBRAMANYAM 2009). Folgende Verbreitung wird von HAGSTRUM & SUBRAMANYAM (2009) angegeben: Afrika: Kongo, Seychellen, Zanzibar; Asien: China, Japan, Java; Europa: eingeschleppt nach Deutschland und Polen. *E. zanzibaricus* wurde auch in Indonesien (Papua) nachgewiesen (RÜCKER 2010). RÜCKER (mdl. 4/2017) berichtete von Tieren mit den Fundorten Hamburg und Holland sowie davon, dass *E. zanzibaricus* mit Gewürzen, Tee und Kakao vielfach im- und exportiert wurde. 2015 und 2017 konnten vom Autor einige Individuen im Zoo Leipzig, Gondwanaland, gefangen werden (REIKE 2018, im Druck). *E. zanzibaricus* wurde an einem Holzartikel aus Indonesien in Melbourne, Australien festgestellt (PADIL 2018; det. A. BROADLEY, 2006).

Fasst man diese Angaben zusammen, so ergibt sich folgende Verbreitung für *E. zanzibaricus*: Afrika: Kongo, Seychellen, Tansania (Zanzibar); Europa: Deutschland (Dresden, Hamburg, Leipzig), Holland, Polen; Asien: China (Fuzhou), Indonesien (Papua), Japan, Java; Australien.

Morphologie der Entwicklungsstadien

Die Antennenform der Larven von *Euchionellus* (Abb. 1416) ähnelt denen von *Metophthalmus* (Abb. 1417). Die Antennen von *Latridius*-Larven weisen eine apikal stehende, lange, starke Borste auf (TRIKHLEB 2008). Die seitliche starke Borste ist bei *Latridius* stets kürzer als die zentrale Borste. Bei *Euchionellus* und *Metophthalmus* steht die längste Borste seitlich und ist stets länger als die apikale Borste. Die Larven von *Euchionellus* und *Metophthalmus* unterscheiden sich zusätzlich in der Morphologie von Kopf, Behaarung der Oberlippe sowie Maxillen (Abb. 1418-1423). Mandibeln, Hypopharynx und Augen zeigen nur geringfügige Unterschiede zwischen den Larven der zwei Gattungen. Auch ist die äußere Morphologie von Larven und Puppen ähnlich (Abb. 1424, 1425).

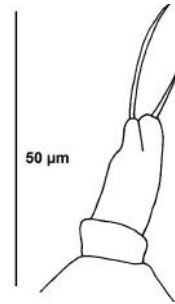


Abb. 1416.

Euchionellus zanzibaricus (BELON, 1887)
Antennenform der Larven.

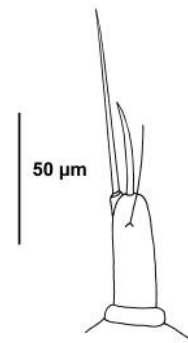


Abb. 1417.

Metophthalmus obscurus REIKE & RÜCKER, 2010 und
Metophthalmus fulvus REIKE & RÜCKER, 2010
Antennenform der Larven, verändert nach REIKE &
RÜCKER 2010.

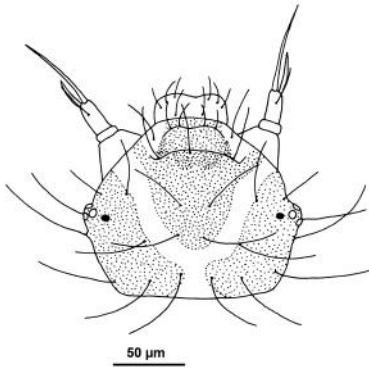


Abb. 1418.
Euchionellus zanzibaricus (BELON, 1887)
 Kopfform der Larven.

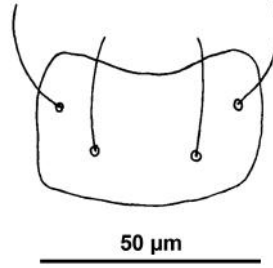


Abb. 1420.
Euchionellus zanzibaricus (BELON, 1887)
 Labium der Larven

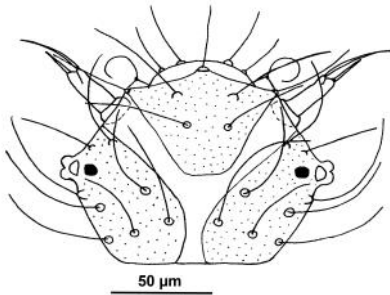


Abb. 1419.
Metophthalmus obscurus REIKE & RÜCKER, 2010
 Kopfform der Larven, nach REIKE & RÜCKER 2010.

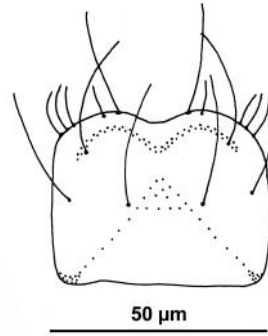


Abb. 1421.
Metophthalmus obscurus REIKE & RÜCKER, 2010
 Labium der Larven nach REIKE & RÜCKER 2010.

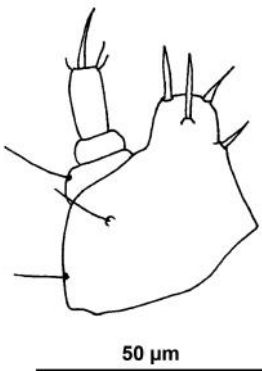


Abb. 1422.
Euchionellus zanzibaricus (BELON, 1887)
 Maxille der Larven.

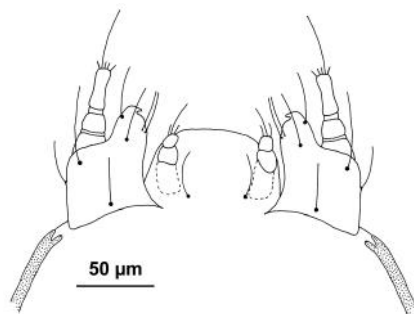


Abb. 1423.
Metophthalmus obscurus REIKE & RÜCKER, 2010
 Maxillen der Larven nach REIKE & RÜCKER 2010.

Metopthalmus kakiopoulosi RÜCKER, 2019

Metopthalmus kakiopoulosi RÜCKER, 2019

Metopthalmus kakiopoulosi RÜCKER, 2019: 7–10

Typen. Holotypus. 1 ♂ Griechenland, südlicher Teil der Insel Skyros (Ägäisches Meer), Ari's Plateau, 28.X.2017. Durch Sieben, Laubabfall von immergrünen *Acer* und *Quercus* (WRCN, später SMNS).

Paratypen. 10 ♂, 27 Ex. ♂ und ♀, 22 Ex. ex ovo, Griechenland, südlicher Teil der Insel Skyros (Ägäisches Meer), Ari's Plateau, 28.X.2017. Durch Sieben, Laubabfall von immergrünen *Acer* und *Quercus*. (WRCN, GKG und HPR).

Diagnose. Eine sehr kleine *Metopthalmus*-Art von nur 1,00–1,29 mm Länge. Etwas an eine winzige *Metopthalmus hungaricus* REITTER, 1884 erinnernd, aber schon aufgrund der Kleinheit nicht mit dieser zu verwechseln. Von der Charakteristik des Aedoeagus der Verwandtschaft von *Metopthalmus telemachos* RÜCKER & REIKE, 2010 zugehörig, aber auch hier aufgrund der extremen Kleinheit nicht mit dieser zu verwechseln (RÜCKER 2018, Seite 136 und 142 Abb. 405).

Beschreibung. Habitus. Körperlänge von 1,00–1,29 mm, Gestalt stark gewölbt, rötlichbraun gefärbt, Tarsen und Antennen etwas heller, Augen dunkel, ohne erkennbare Behaarung. Kopf, Pronotum, Seitenrand und Unterseite mehr oder weniger mit einer weißen wachsartigen Ausscheidung überzogen, die bei frisch geschlüpften Käfern noch fehlt und erst nach einigen Tagen erzeugt wird.

Habitus (Abb. 1424, 1425 und 1429).

Kopf. Breite mit den Augen 0,286 mm, Länge 0,171 mm, Verhältnis der Breite zur Länge 1: 0,60, Augen grob facettiert, aus nur wenigen Facetten bestehend, Durchmesser der Augen 0,057 mm, Unterrand des Kopfes überragt weit die Augen, etwa um die Hälfte des Augendurchmessers, Rand des Unterrandes leicht gezähnt und gleichmäßig gerundet Schläfen sehr kurz, nicht mehr als eine Facette der Augen, nach hinten konvergierend, die mittleren Kiele des Kopfes vorn schwach unterbrochen, fast parallel verlaufend, von den Augen verläuft ein Kiel schräg nach vorne zur Stirn, Oberlippe gerade abgeschnitten, Oberfläche des Kopfes

matt glänzend, chagriniert, Fühlerlänge 0,286 mm, Fühler zehngliedrig mit zweigliedriger Fühlerkeule, erstes Glied groß, kugelig, vorne etwas abgeschragt, das zweite Glied nur halb so groß wie das erste, aber gleichmäßig kugelig, das dritte Glied klein und trapezförmig, Glied vier, fünf und sechs länger als breit, Glied sieben und acht kugelig und nicht länger als breit, Glied neun breiter als lang, trapezförmig, Glied zehn groß und am Vorderrand mit einem kleinen Absatz (Abb. 1426).

Pronotum. Größte Breite in der Mitte, hinten deutlich breiter als vorn am Kopf, hier nicht breiter als der Unterrand des Kopfes, Seitenrand rund, breit und flach abgesetzt mit ca. 20–22 kleinen abgerundeten Zähnen, Breite 0,414 mm, Länge 0,286 mm, Verhältnis der Breite zur Länge 1: 0,69, vor der Basis mit vier kleinen Höckerchen, die mit Querleisten verbunden sind, von den beiden vorderen Höckerchen verlaufen etwas nach außen gebogene Leisten nach Vorne, Oberfläche runzelig chagriniert und meistens von einer weißen Ausscheidung überzogen.

Elytren. Breite bei der Flügeldecken 0,543 mm, Länge 0,786 mm, Verhältnis der Breite zur Länge 1: 1,45, Oberfläche etwas glänzend, chagriniert, in Reihen tief punktiert, Punktabstände sehr eng, manchmal sogar einander berührend, Anzahl der Punkte an der Suture 18 bis 20, nach hinten hochgewölbt und mit steilem Absturz, Zwischenräume eins und drei schwach, aber deutlich gekielt, Zwischenraum fünf stärker als Zwischenraum eins und drei gekielt, Seitenrand der Elytren von oben sichtbar, im vorderen Drittel etwas nach außen gewinkelt, Humeralwinkel breit vorstehend, abgerundet, Seitenrand fast immer von einer weißen Ausscheidung überzogen, ohne Hautflügel (flugunfähig).

Sexualdimorphismus. Alle Tibiae der Männchen am distalen Ende mit einem winzigen spitzen Dorn. Tarsenformel bei Männchen und Weibchen 3-3-3.

Aedeagus. Länge gesamt 0,429 mm, lang, schmal und durchscheinend (Abb. 1427), letztes Tergit spitz, Fusion aus letztem Sternit und Tergit (Abb. 1428).

Bionomie und Ökologie. Mycetophag in Laubabfall von immergrünen *Acer* und *Quercus* Bäumen und Sträuchern.

Verbreitung. Europa: Griechenland, südlicher Teil der Insel Skyros (Ägäisches Meer), Ari's Plateau, vermutlich endemisch auf dieser Insel.



Abb. 1424.
Holotypus *Metopthalmus kakiopouloisi* RÜCKER, 2019.
Länge von 1,00–1,286 mm:

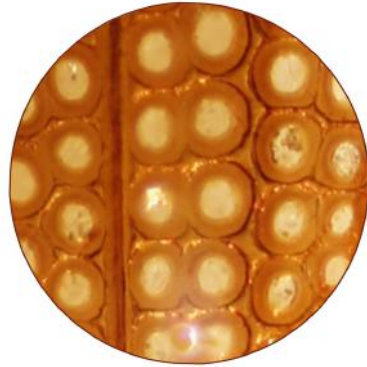


Abb. 1425.
Metopthalmus kakiopouloisi RÜCKER, 2019.
Punktierung der Elytren (Ausschnitt nahe der Suture):

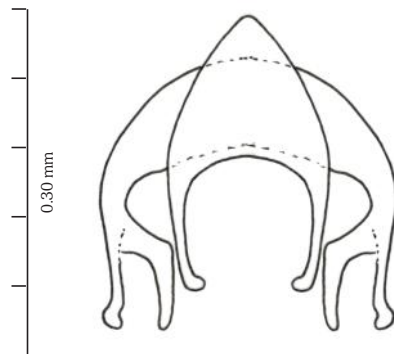


Abb. 1428.
Metopthalmus kakiopouloisi RÜCKER, 2019.
Fusion letztes Sternit und Tergit der Männchen.

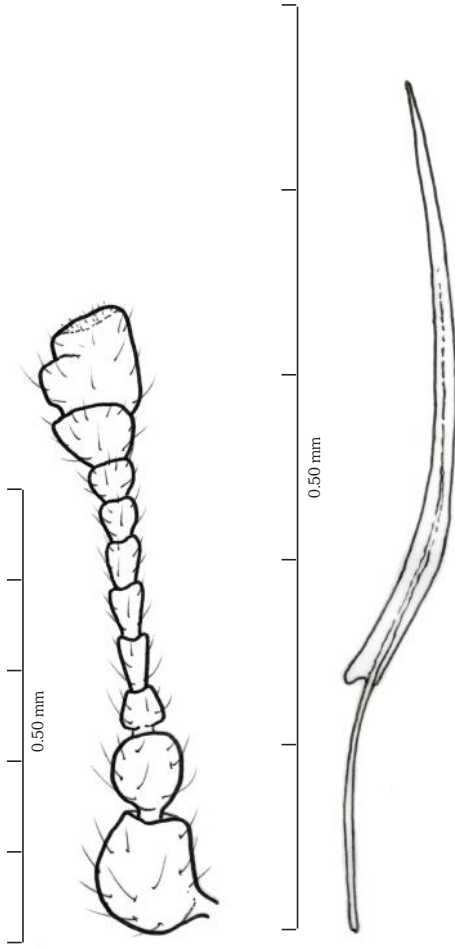


Abb. 1426.
Metopthalmus kakiopoulosi RÜCKER, 2019. Fühler.

Abb. 1427.
Metopthalmus kakiopoulosi RÜCKER, 2019.
 Aedoeagus ventral.

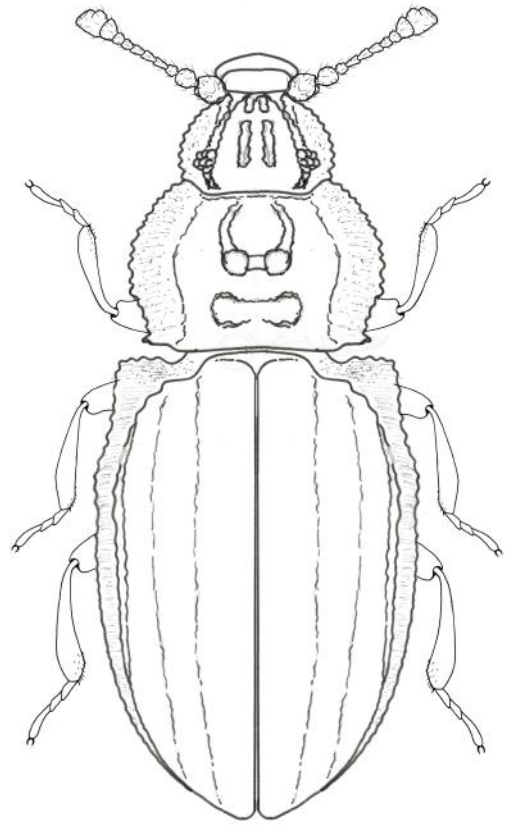


Abb. 1429.
Metopthalmus kakiopoulosi RÜCKER, 2019.
 Habitus Umriss.
 Länge von 1,00–1,286 mm:

Corticaria wolfgangrueckeri REIKE, 2019

Corticaria wolfgangrueckeri REIKE, 2019

Corticaria wolfgangrueckeri REIKE, 2019: 17–19.

Typen. Holotype. ♂ 24.V.–30.V.2015, Turkmenistan, Lebap Province, Koytendag District, v. Gurshun Magdanly (= Svintsovoy rudnik), cave Kaptarhana (Pigeon cave), N 37° 29' 48.73", E 66° 14' 46.64", 585 m asl., numerous gypsum boulders, guano heaps, small pools; pitfall traps, leg. P. STOEVE, B. SKETIN; coll. NMNHS.

Paratypen. 24.V.–30.V.2015, Turkmenistan, Lebap Province, Koytendag District, v. Gurshun Magdanly (= Svintsovoy rudnik), cave Kaptarhana (Pigeon cave), N 37° 29' 48.73", E 66° 14' 46.64", 585 m asl., numerous gypsum boulders, guano heaps, small pools; pitfall traps, leg. P. STOEVE, B. SKETIN; 50 Ex. coll. NMNHS; 30 Ex. coll. WRUE; 25 Ex. coll. HPR (später coll. MTD).

Diagnose. *Corticaria wolfgangrueckeri* REIKE, 2019 ähnelt vom Habitus der *Corticaria fulva* (COMOLLI, 1837), unterscheidet sich leicht aufgrund des deutlich mehr herzförmigen Pronotum, das bei *Corticaria fulva* (COMOLLI, 1837) breiter und weniger herzförmig ist und der längeren Behaarung von Elytren und Pronotum (Abb. 1431, sowie dem Aedoeagus (Abb. 1436–1437).

Beschreibung. Habitus. Körperlänge: 1,60–2,10 mm; Gestalt leicht abgeflacht, langgestreckt, Körper rötlichbraun gefärbt, Fühler und Beine ebenso gefärbt, Augen schwarz, Körper locker anliegend behaart. (Abb. 1430).

Kopf. Breite mit den Augen 0,33–0,39 mm, Länge 0,25–0,38 mm, Augen fein facettiert, Länge der Augen 0,08–0,11 mm, Breite der Augen 0,050–0,075 mm, Schläfen leicht rechtwinkelig ausgebildet, Schläfenlänge 0,025–0,050 mm, Oberfläche matt glänzend, chagriniert, Punkte um etwa 1,5 Punktdurchmesser voneinander entfernt, Fühlerlänge 0,550–0,675 mm, Fühler elfgliedrig mit dreigliedriger Fühlerkeule, erstes Fühlerglied mit dreigliedriger Fühlerkeule, erstes Fühlerglied kugelig, größer als das zweite, Glied zwei bis sieben gestreckt, Glied acht bis zehn so lang wie breit, das letzte Fühlerglied gestreckt. Auf den Gliedern der Fühlerkeule sitzen apikal sehr große Sensillen.

Pronotum. Größte Breite vor der Mitte (im ersten Drittel), Breite 0,42–0,50 mm, Länge 0,35–0,45 mm, Halsschildseitenrand gezähnt, die zentrale Grube des Halsschildes beansprucht etwas weniger als 1/2 der Halsschildlänge, Oberfläche

matt glänzend, chagriniert, Punktierung im zentralen Teil mit der des Kopfes vergleichbar, an den Seiten ebenso weitläufig punktiert.

Elytren. Breite beider Flügeldecken 0,625–0,725 mm, Länge 0,95–1,30 mm, Oberfläche fettig glänzend, nicht chagriniert, in undeutlichen Reihen punktiert, Punktabstände wie auf dem Pronotum, mit gleichmäßigem Abstand, Zwischenräume nicht erhaben, Elytren langgestreckt eiförmig, Flügeldeckenspitzen einzeln verrundet, Scutellum quer rechteckig, Schultern verrundet, keine Hautflügel, flugunfähig.

Hinterleib. Bei Männchen und Weibchen mit fünf sichtbaren Sterniten, weitläufig punktiert, Tergite (Abb. 1432).

Sexualdimorphismus. Beim Männchen Mittelschienen am Ende mit einem kleinen, nach innen gerichteten Zähnen. Vorder- und Hinterschienen wie beim Weibchen gebildet. Alle Schienen gerade, Mittel- und Hintertibien apikal mit einem Borstenkamm, alle Tibien auf der Innenseite etwas dichter mit Borsten besetzt (dichter als auf der Außenseite), Tarsenglieder unterseits etwas dichter beborstet als auf der Oberseite, Glied eins nur wenig lappenartig unter Glied zwei vorgezogen.

Aedoeagus. Breite 0,100 mm, Länge 0,625 mm, zugespitzt, Innensackstrukturen bei ventraler Ansicht mit einem großen, dunklen, an der Spitze nach außen gekrümmten Zahn, daneben dicht gelagerte dunkle Zähne und mit zahlreichen winzigen Zähnen (Abb. 1434–1435).

Bionomie und Ökologie. Diese Art ist ein Bewohner von Randzonen in Höhlen. Die derzeit bekannten Individuen stammen aus dem Eingangsbereich der Höhle „cave Kaptarhana (Pigeon cave)“.

Verbreitung. Asien: Turkmenistan, vermutlich endemische Art, derzeit nur aus der Höhle „cave Kaptarhana (Pigeon cave)“ bekannt.



Abb. 1430.
Corticaria wolfgangrueckeri REIKE, 2019. ♂, Habitus.



Abb. 1431.
Corticaria fulva (COMOLLI, 1837) ♂, Habitus.

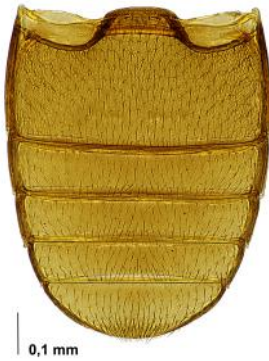


Abb. 1432.
Corticaria wolfgangrueckeri REIKE, 2019. ♂, Sternite.



Abb. 1433.
Corticaria fulva (COMOLLI, 1837) ♂, Sternite.



Abb. 1434.
Corticaria wolfgangrueckeri REIKE, 2019. ♂,
 Aedeagus ventral.

Abb. 1435.
Corticaria fulva (COMOLLI, 1837) ♂, Aedeagus ventral.



Abb. 1436.
Corticaria wolfgangrueckeri REIKE, 2019. ♂,
 Aedeagus lateral.

Abb. 1437.
Corticaria fulva (COMOLLI, 1837) ♂, Aedeagus lateral.



Abb. 1438.
Corticaria wolfgangrueckeri REIKE, 2019 ♂, Tergite.

Abb. 1439.
Corticaria fulva (COMOLLI, 1837) ♂, Tergite.



Abb. 1440. *Corticaria wolfgangrueckeri* REIKE, 2019.
 ♀, Tergite mit Genital.

Abb. 1441. *Corticaria fulva* (COMOLLI, 1837) ♀, Tergite.

Abb. 1442. *Corticaria fulva* (COMOLLI, 1837) ♀, Genital.

Corticaria dioscorida RÜCKER, 2018

Corticaria dioscorida RÜCKER, 2018

Corticaria dioscorida RÜCKER, 2012: 249–252

Typen. Holotypus. 1 ♂ (NMPC), Yemen, Socotra Island / Al Haghier Mts. / Scant Mt. env. env. / 12°34.6'N, 54°01.5'E, 1450 m / J. Bezdek, 12-13.XI.2010.

Paratypen. 1 ♀, gleiche Etikettendaten wie der Holotypus (NMPC); 1 ♂, 5 ♀ und 2 ♀, mit gleichen Etikettendaten, P. Hlaváč (NMPC, WRCN); 1 ♀ gleiche Etikettendaten, J. Hájek (NMPC).

Diagnose. Eine sehr auffällige *Corticaria*, gekennzeichnet durch deutlich gezähnte Seiten des Pronotums, ähnlich der *Corticaria arenosa* RÜCKER, 2011 aus den Vereinigten Arabischen Emiraten (RÜCKER 2011). *Corticaria dioscorida* RÜCKER, 2012. lässt sich jedoch durch breit gerundete und deutlich konvexe Elytren leicht von dieser Art trennen, im Gegensatz zur den eher subparallelen und flachen Elytren von *Corticaria arenosa* RÜCKER, 2011.

Beschreibung. Habitus. Körperlänge 1,50–1,90 mm. Färbung von Kopf, Pronotum, Fühlern und Beinen gelb bis hellbraun, Färbung der Elytren hellbraun bis braun (Abb. 1444).

Kopf. Breiter als lang, maximales Breiten-/Längenverhältnis 1 : 0,50; chagriniert, mit feinen und dünn verteilten Einstichen; Augen klein, halb kugelförmig, grob facettiert; Augendurchmesser ca. 0,06 mm. Schläfen kurz, ihre Länge entspricht ungefähr der Größe von zwei Facetten, ca. 0,03 mm. Fühler elfgliedrig; Fühlerkeule dreigliedrig. Länge der Fühler 0,57 mm.

Pronotum. Breiter als lang, maximales Breiten-/Längenverhältnis 1 : 0,78; chagriniert, matt; Einstiche spärlich, kaum sichtbar. Seitenflächen flach, jeweils mit fünf verschiedenen Zähnen im vorderen Bereich, im hinteren Viertel mit zwei kleinen Zähnen und spitzen Winkeln vor der Basis; alle Zähne tragen eine einziges langes Haar (Länge ca. 0,06 mm). Pronotum vor der Basis mit einer großen flachen Vertiefung in der Mitte; Pronotum deutlich konvex.

Elytren. Breit gerundet, am breitesten im basalen Drittel, maximale Breite: Längenverhältnis 1: 1,29; konvex. Seitlicher Rand sehr schmal, in der dorsalen Ansicht nur im vorderen Viertel sichtbar.

Schultern nicht entwickelt. Oberfläche chagriniert, schwach glänzend. Punktierung fein, undeutlich; ungerade Punktreihen mit groben Punkten, jeder Punkt mit einem sehr kurzen Haar (sichtbar bei 80-facher Vergrößerung); gerade Punktreihen mit spärlichen sehr feinen Punkten, jeder Punkt mit einem langen Haar (Länge ca. 0,10 mm). Hinterflügel nicht entwickelt, apter, flugunfähig.

Sexualdimorphismus. Kein auffälliger Sexualdimorphismus vorhanden. Tarsenformel bei Männchen und Weibchen 3-3-3.

Aedeagus. Länge des Aedeagus ca. 0,79 mm, Breite ca. 0,09 mm. Länge des Medianlappens ca. 0,26 mm, Tegmen ca. 0,53 mm. Seiten des Medianlappens parallel, Apex lanzettförmig Präputialsack mit winzigen Zähnchen (Abb. 1443).

Bionomie und Ökologie. Aus Streu unter Sträuchern und Bäumen in großer Höhe (über 1400 m) des Haghier-Gebirges gesiebt.

Verbreitung. Asien: Jemen: Insel Socotra, vermutlich endemisch.

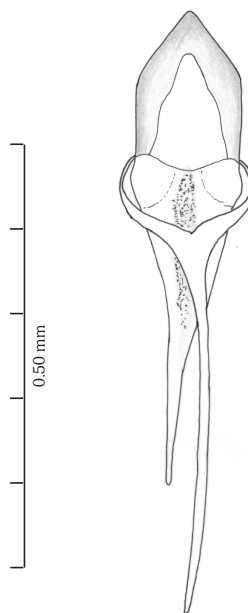


Abb. 1443. *Corticaria dioscorida* RÜCKER, 2012
Aedeagus.

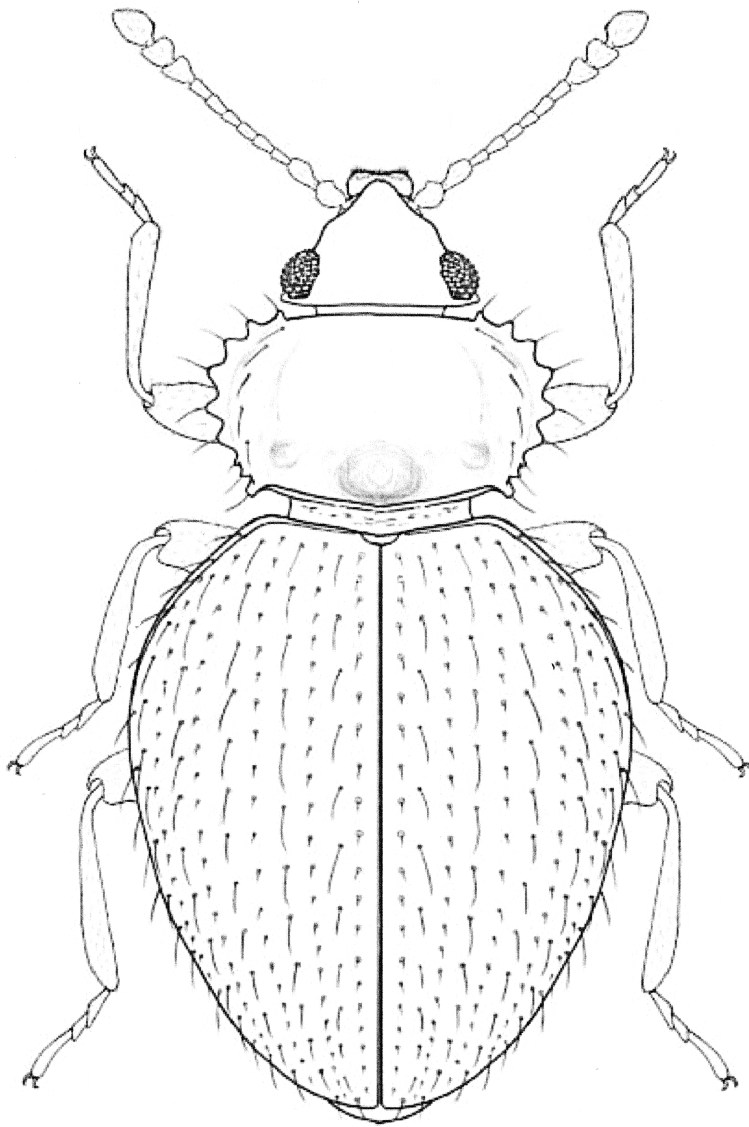


Abb. 1444. *Corticaria dioscorida* RÜCKER, 2012

Habitus, Körperlänge: 1,50 bis 1,90 mm

Taxonomischer Status von *Dienerella elongata* (CURTIS, 1830)

Dienerella elongata (CURTIS, 1830)

Dienerella vincenti JOHNSON, 2007

Typen. Neotypus. 1 ♂ 03.XI.1996, UK: Surrey, White Hill, Mickleham [TQ 1853], leg. R. G. BOOTH; under cut beech tree trunk [back of the label]; *Dienerella elongata* (CURTIS), det. R. G. BOOTH, 1996; R. G. BOOTH, coll. BMNH 1996-114, NEOTYPE *Dienerella elongata* (CURTIS, 1830), H.-P. REIKE des. 2019. (BMNH)

Dienerella elongata (CURTIS, 1830) hat wieder den ursprünglichen Namen zurück erhalten und

der Name *Dienerella vincenti* JOHNSON, 2007 ist als Synonym zu *Dienerella elongata* (CURTIS, 1830) einzustufen.

Ausführlich wurden zu diesem Thema schon mehrere Artikel verfasst (RÜCKER 2018 Seite 380 und REIKE 2013 Seite 5–8). Die Typenserie von CURTIS gilt als verschollen (RÜCKER 2018), so dass 2019 eine Neotype designiert wurde (REIKE 2019b), die im British Museum hinterlegt ist.

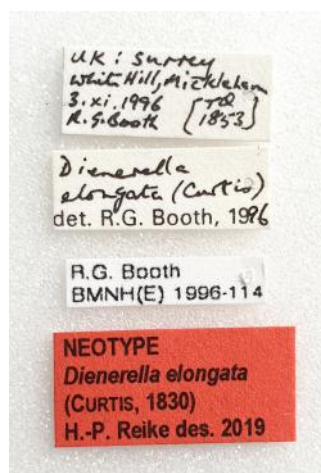
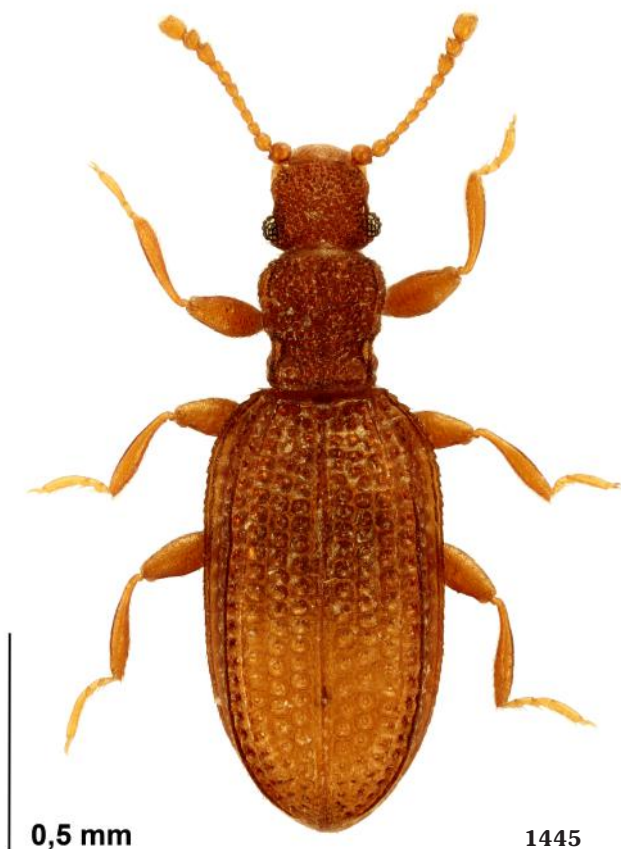


Abb. 1445. Neotype *Dienerella elongata* (CURTIS, 1830), Habitus.

Abb. 1446. Neotype *Dienerella elongata* (CURTIS, 1830), Etiketten.

Enicmus clayhillsi RÜCKER, 2019

Enicmus clayhillsi RÜCKER, 2010

Enicmus clayhillsi RÜCKER, 2019b: 29–31.

Typen. Holotypus. 1 ♂ Finland Sa: Lappeenranta, Joutseno, Varsakallio 67712:35916, 10.5.–8.6.2014, TOM CLAYHILLS leg.
Der Holotypus wird zur Zeit in der Sammlung von TOM CLAYHILLS, Finnland aufbewahrt.

Diagnose. Eine sehr kleine Art der Gattung *Enicmus* C. G. THOMSON, 1859 von nur 1,286 mm Länge. Im Aussehen einem kleinen *Enicmus rugosus* (HERBST, 1793) sehr ähnlich und nur sehr schwer zu unterscheiden. Besondere Merkmale finden sich im Aedoeagus mit gerader und scharfer Spitze, und sich vom Aedoeagus des *Enicmus rugosus* (HERBST, 1793) unterscheidet (RÜCKER 2018, Seite 105 Abb. 287–288), zur weiteren Unterscheidung eignet sich der fein angedeutete siebente Zwischenraum der Elytren, der an den Schultern schwach hervortritt und nach hinten als feine Linie ausläuft sowie aufgrund des nur wenig gerundeten Seitenrandes des Pronotums.

Weitere ähnliche Arten wie *Enicmus planipennis* STRAND, 1940 und auch *Enicmus apicalis* J. SAHLBERG, 1926 scheiden schon aufgrund ihrer Größe aus (RÜCKER 2018, Seite 113 Abb. 316, 317, Seite 114 Abb. 319).

Weitere kleine Arten wie *Enicmus rueckeri* JOHNSON, 2007 und *Enicmus dubius* (MANNERHEIM, 1844) haben ganz klare abweichende Aedoeagi (RÜCKER 2018) und scheiden ebenfalls aus. Habitus (Abb. 1447 Holotypus ♂).

Beschreibung. Kopf. Breite mit den Augen 0,286 mm, Länge 0,143 mm, Augen fein facettiert, schwarz, stark gewölbt und vorstehend, Durchmesser der Augen 0,086 mm, Schläfen kurz, spitzwinkelig, Länge der Schläfen 0,029 mm, Fühlerlänge 0,429 mm, Fühler elfgliedrig mit dreigliedriger Fühlerkeule, erstes Glied groß, kugelig, das zweite Glied deutlich kleiner als das erste und ebenfalls kugelig, Glied drei bis acht länger als breit, Glied neun schlank, länger als breit, Glied zehn kaum länger als breit, Glied elf groß, doppelt so breit wie lang (Fühler Abb. 1449), Oberfläche des Kopfes grob runzlig punktiert, mit

einer angedeuteten Mittelfurche.

Pronotum. Etwas breiter als lang, Breite 0,357 mm, Länge 0,243 mm, vor der Mitte am breitesten, Seitenrand schwach gerundet, mit sehr kleinen und unregelmäßigen Zähnchen, an der Basis beiderseits ein kleines Grübchen, mit einer schwachen Querfurche verbunden, auf der Scheibe ein ovaler Längseindruck, Oberfläche stark runzlig.

Elytren. Breite beider Flügeldecken 0,471 mm, Länge 0,829 mm, etwas oval, Punktierung sehr klein, in Reihen, Zwischenräume flach, Zwischenraum sieben im Bereich der Schultern als schwache Linie ausgeprägt, die nach hinten ausläuft (kaum zu erkennen). Elytren fein chagriniert mit Seidenglanz, Seitenrand von oben sichtbar. Hautflügel gut entwickelt pterygot.

Farbe. Ganzer Käfers dunkelbraun bis fast schwarz, Fühler und Beine gelbbraun, ab 120facher Vergrößerung kurze Börstchen in den Punkten sichtbar.

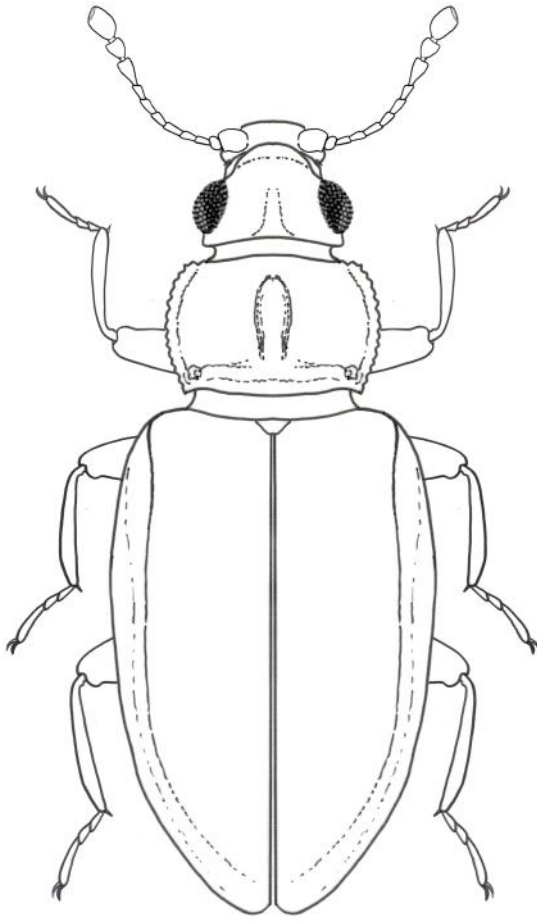
Sexualdimorphismus. Tibiae der Männchen am distalen Ende mit einem winzigen Dorn, Tarsenformel bei Männchen und Weibchen 3-3-3.

Unterseite. Sternite dunkelbraun, 1. Sternit mit feinen Coxallinien, die fast den Hinterrand erreichen.

Aedoeagus. Klein, 0,300 mm lang, Spitze in lateraler Ansicht schlank und scharf, in ventraler Ansicht am Ende gerade (Abb. 1449).

Ökologie. Mycetophag in Espenwäldern.

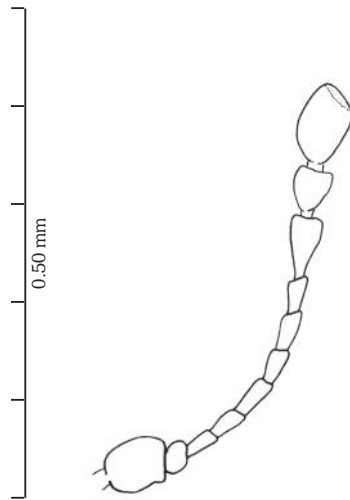
Verbreitung. Bisher bisher nur in Finnland Sa: Lappeenranta, Joutseno.



1447



1448



1449

Abb. 1447–1449. *Enicmus clayhillsi* RÜCKER, 2019.

Abb. 1447. Habitus. Körperlänge 1,286 mm.

Abb. 1448. Aedeagus ventral und lateral.

Abb. 1449. Fühler.

Variationen der Pronata bei *Lithostygnus serripennis* BROUN, 1914

Beschreibung

Lithostygnus serripennis BROUN, 1914

Länge. 1,28–1,64 mm, Breite 0,54 mm.

Kopf. Länge 0,214 mm, Breite 0,286 mm, auf der Scheibe mit zwei parallel verlaufenden Kielen, die bis zur Stirn reichen.

Vom Hinterrand der Augen verläuft eine Leiste schräg zur Kopfmittle. Beide Leisten schließen eine ovale Vertiefung ein. Augen sehr klein, Durchmesser etwa 0,050 mm, aus nur 6–8 schwarzen Facetten bestehend, Schläfen lang, nach hinten konvergierend, Länge der Schläfen 0,057 mm, Fühler elfgliedrig mit zweigliedriger Fühlerkeule, Fühlerlänge 0,300 mm.

Pronotum. Länge 0,285 mm, Breite 0,286 mm, breiter als lang, Seitenrand und Zähnung variabel (Abb. 1452–1457), Seitenrand breit und flach abgesetzt mit 10–12 kleinen, mehr oder weniger spitzen Zähnen, an den Hinterecken ein kräftiger spitzer Zahn. Vor der Basis eine tiefe quer verlaufende Furche, die beiderseits in einem tiefen Grübchen endet. Im Gesamteindruck entsteht aber ein symmetrisches Bild des Pronotums im Gegensatz zu *Lithostygnus minor* BROUN, 1893.

Elytren. Länge 0,740 mm bis 0,886 mm, Breite 0,520 mm, breit oval, Zwischenraum eins, drei und fünf rund erhaben, jede Elytre mit sechs Punktreihen, 18 Punkte an der Naht, Humeralwinkel nach außen zipfelig vorstehend, Seitenrand an den Schultern breit und abgeflacht, von oben bis fast zur Spitze sichtbar. Elytren mehr oder weniger fest miteinander verwachsen und schwer oder nicht trennbar, keine Hautflügel vorhanden, apter.

Sexualdimorphismus. Tarsen 3–3–3 bei Männchen und Weibchen, kein sichtbarer Sexualdimorphismus.

Aedoeagus. Länge 0,786 mm, sehr dünn und durchscheinend, schmal und spitz, einer flachen Nadel ähnlich, zur Artbestimmung daher wenig geeignet.

Farbe. Ganzer Käfer schmutzig gelbbraun, oft von einer klebrigen, etwas milchigen Ausscheidung von schorfartigem Aussehen überzogen.

Habitus Abb. 1450–1451.



1450



1451

Variationen der Pronota bei *Lithostygnus serripennis* BROUN, 1914

Lithostygnus BROUN, 1886

Eine Gattung mit Varianten der Pronota. Besonders die Seitenränder der Pronota weisen große Unterschiede auf, was bei den Latridiidae eigentlich nichts Ungewöhnliches ist, da man dies auch beispielsweise bei *Stephostethus angusticollis* (GYLLENHAL, 1827) findet. Die Gattung *Lithostygnus* BROUN, 1886 ist in dieser Hinsicht allerdings extrem variabel.

Auffällig bei *Lithostygnus minor* BROUN, 1893 ist der oft nicht symmetrische Seitenrand, der rechts und links große Unterschiede aufweisen kann, was mir bisher lediglich von einigen Colydiidae bekannt war.

Studien einer Serie der Gattung *Lithostygnus* BROUN, 1886 aus Neuseeland und Australien machten es notwendig auf diese Variationen hinzuweisen und abzubilden (RÜCKER 2019c Seite 41–66).

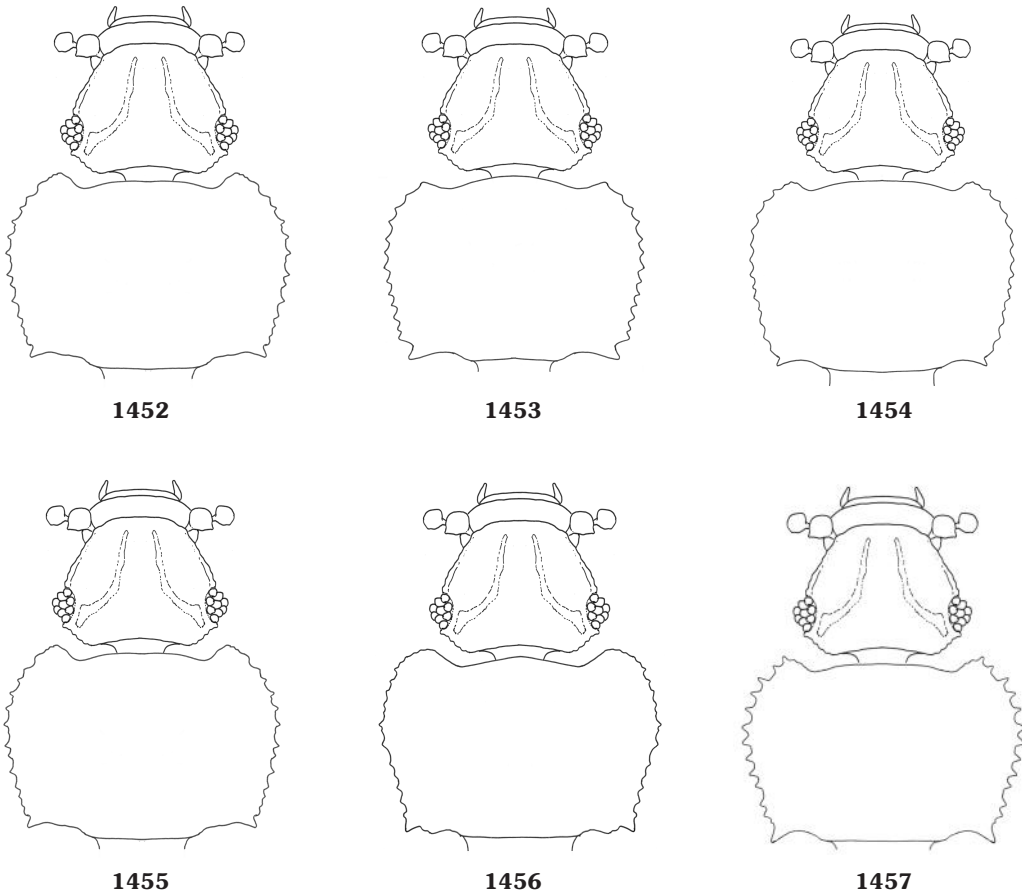


Abb. 1452–1457. *Lithostygnus serripennis* BROUN, 1914, Pronota-Variationen.

Abb. 1452. Australien, New South Wales.

Abb. 1453. New Zealand, Vauxhall, Dunedin, 22. April 2010, in altem Grasschnitt.

Abb. 1454. New Zealand, Vauxhall, Dunedin, 22. April 2010, in altem Grasschnitt.

Abb. 1455. New Zealand, Vauxhall, Dunedin, 22. April 2010, in altem Grasschnitt.

Abb. 1456. Deutschland, Sachsen, Bautzen, 23. November 1989 (importiert).

Abb. 1457. Deutschland, Kreis Harburg, 11. März 1983 (importiert).

Corticaria culminis TELFER & RÜCKER, 2019 aus Großbritannien

Corticaria culminis TELFER & RÜCKER, 2019

Corticaria culminis TELFER & RÜCKER, 2019: 101–107.

Typen. Holotypus. 1 ♂ wurde am 7. Juli 2006 von Dr. Mark G. Telfer auf dem Dach des Hilltop House (SP 94162 22599), Billington, Bedfordshire (VC 30), Großbritannien, gesammelt. Der Holotypus verbleibt in der persönlichen Sammlung von MGT, die für das Oxford University Museum of Natural History oder das Natural History Museum, London, bestimmt ist.

Diagnose. Ein weiteres Mitglied der *sylicola*-Gruppe. Nahe verwandt mit *Corticaria anatolica* JOHNSON, 1989 und *Corticaria cretica* JOHNSON, 1989, unterscheidet sich im Wesentlichen im Aedoeagus. *Corticaria culminis* TELFER & RÜCKER, 2019 ist im Vergleich zu beiden vorgenannten etwas größer und breiter und mit weniger abgerundeten Schultern. Länge 1,80 mm.

Beschreibung. Kopf. Quer, 0,40 mm breit, flach und kaum vorgewölbt, Augendurchmesser 0,094 mm, Schläfen gerade und gerundet, Länge der Schläfen 0,039 mm, Punktierung deutlich, Zwischenräume chagriniert. Fühler elfgliedrig mit dreigliedriger Fühlerkeule, Länge der Fühler 0,60 mm.

Pronotum. Quer und breit, am breitesten kurz hinter der Mitte, Seiten gerundet und mit ca. zehn kleinen Zähnen, deutliche Punktierung und Behaarung, Zwischen den Punkten chagriniert, vor der Basis ein sanftes Grübchen

Elytren. Eiförmig, nach hinten breit gerundet, Punktierung in Reihen, ca. 26 Punkte, etwas irregulär erscheinend, Behaarung leicht abgehend, deutlich überlappend, Zwischen den Punktreihen anliegende Behaarung. Ob Hautflügel vorhanden wurde nicht geprüft, da die Elytren nicht trennbar sind, vermutlich aber wie alle *Corticaria* aus dieser Gruppe ohne Hautflügel (apterous).

Sexualdimorphismus. Tarsen 3–3–3 bei Männchen und Weibchen, Pro- und Mesotibiae mit einem kleinen spitzen Zahn am distalen Ende.

Aedoeagus. Der apikale Teil (Phallus) ist 0,293 mm lang, die ersten zwei Drittel mit parallelen Seiten, ab dem letzten Drittel leicht stumpf zugespitzt und ventral gekrümmt. Präputialsack mit

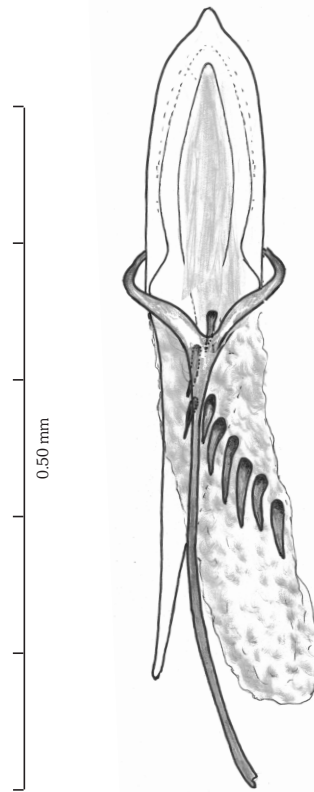
ca. zehn gleichgroßen, kräftigen Zähnen. (Abb. 1458).

Farbe. Ganzer Käfer hellbraun.

Ökologie. Mycetophag in Stroh und/oder Schilf.

Verbreitung. Bisher nur aus England von einem mit Stroh und Reet gedeckten Dach bekannt und vermutlich mit Schilf für Reetdächer nach England importiert.

Weitere Möglichkeiten zum Ursprung dieser Art in (TELFER & RÜCKER, 2019 Seite 105–106).



1458

Abb. 1458. *Corticaria culminis* Telfer & RÜCKER, 2019 Aedoeagus ventral.

Dienerella katarzynae RÜCKER & PLEWA, 2020

Dienerella katarzynae RÜCKER & PLEWA, 2020

Dienerella katarzynae RÜCKER & PLEWA, 2020
(PLEWA & RÜCKER 2020: 50–58)

Typen. Holotypus 1 ♂ South Kazakhstan of the River Akchechek, 43°15'03"N 74°49'43"E, 797, Zhambyl environs, 25 km N of Korday, Kyzyltas ad Alga, 01.V.2018, under bark of *Acer negundo* L., leg. RADOŚLAW PLEWA; (MIZ) (det. RÜCKER & PLEWA 2019).

Paratypen. 4 ♂ und 9 ♀, South Kazakhstan, 43°15'03"N 74°49'43"E, 797 m, of the River Akchechek, Zhambyl environs, 25 km N of Korday, Kyzyltas ad Alga, 01.V.2018, under bark of *Acer negundo* L., leg. RADOŚLAW PLEWA; (4 ♂ und 7 ♀ in (FRI), 2 ♀ in (WRCN)) (det. RÜCKER & PLEWA 2019).

Diagnose. Körperlänge 1,22–1,57 mm. unbehaart, länglich und flach, Farbe des ganzen Käfers gelbbraun, Fühler und Beine etwas heller und gehört zur näheren Verwandtschaft von *Dienerella beloni* (REITTER, 1882) und *Dienerella elegans* (AUBÉ, 1850) unterscheidet sich von diesen durch die Form des Pronotum und keine sichtbare Behaarung. Habitus (Abb. 1459).

Beschreibung. Kopf. Breit, trapezförmig, Verhältnis der Breite zur Länge beträgt 1: 0,75; vor der Basis eine kleine Einbuchtung, Augen aus sechs Facetten zusammengesetzt, Schläfen gerade und gerundet, Länge der Schläfen 0,07 mm, Augendurchmesser 0,75 mm. Punktierung des Kopfes unregelmäßig, Punkte tief, die sich nicht berühren. Fühler elfgliedrig mit dreigliedriger Fühlerkeule, Länge der Fühler 0,31 mm (Abb. 1460).

Pronotum. Bei den Männchen leicht herzförmig, mit abgerundeten Seiten (Abb. 1462), bei den Weibchen mehr breit gerundet (Abb. 1463), Verhältnis der Breite zur Länge 1: 0,73, ohne Haare, Seitenrand mit kleinen unregelmäßigen Zähnchen. Die gesamte Oberseite des Pronotums grob runzlig punktiert. In der hinteren Hälfte des Pronotums eine runde, leichte Einbuchtung. Vordere Winkel des Pronotums leicht gerundet.

Elytren. Ohne Behaarung, Verhältnis der Breite zur Länge 1: 2,30. Jede Flügeldecke mit acht Reihen von Punkten. Die Anzahl der Punkte in einer Reihe beträgt 25 bis 27. Erster, dritter und fünfter Zwischenraum über die gesamte Länge der

Elytra leicht erhöht, der siebente Zwischenraum über die gesamte Länge der Elytra etwas stärker gekielt.

Sexualdimorphismus. Alle Tarsen 3–3–3, am distalen Ende der Tibiae bei den Männchen ein winziger Dorn, Pronotum der Männchen mehr herzförmig als das der Weibchen.

Aedoeagus. Länge: 0,33 mm. Sehr dünn und durchscheinend, schmal, Ende scharf spitz zulau fend (Abb. 1461), (zur Artbestimmung wenig geeignet).

Bionomie und Ökologie. Lokaler Kleinwald im Tal des Flusses Akchechek gebildet von Baumarten, die feuchte Standorte bevorzugen, wie z. Bsp. Pappel (*Populus* sp. L.), Weide (*Salix* sp. L.), und Eschenahorn (*Acer negundo* L.).

Die Käfer wurden im abgestorbenen Kambiumring des Wirtsbaumes (Eschenahorn, *Acer negundo* L.) an Schleimpilzen (*Mycetozoa*) gefunden.

Verbreitung. Vermutlich endemisch. Die Population wurde isoliert im Flusstal Akchechek, umgeben von ausgedehnten Steppen, im südlichen Kazakhstan gefunden.

Akronyme.

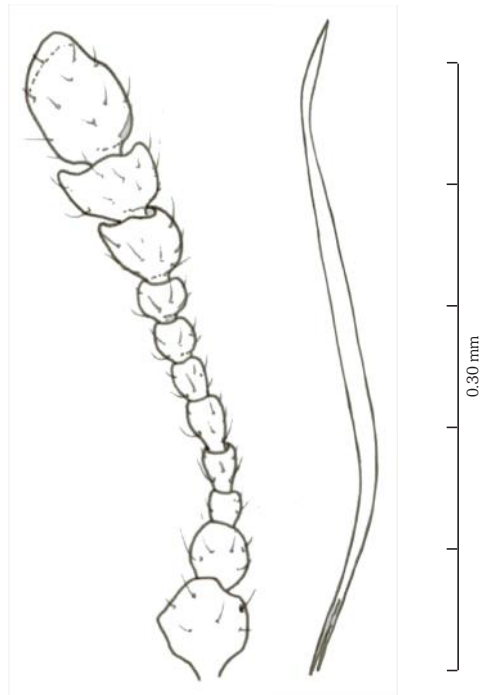
MIZ Museum and Institut of Zoology, Polish Academy of Sciences, Warschau, Polen.

FRI Forest Research Institute Sekocin Stray, Polen.

WRCN W. H. Rücker, Neuwied, Deutschland.

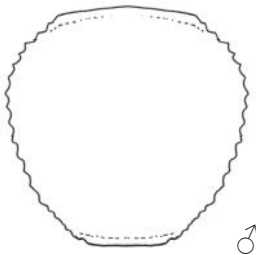


1459

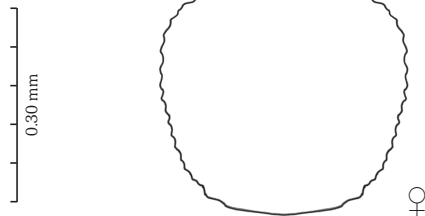


1460

1461



1462



1463

Abb. 1459–1463. *Dienerella katarzynaе* RÜCKER & PLEWA, 2020.

Abb. 1459. Habitus, Paratypus ♀, Körperlänge der Tiere von 1,22–1,57 mm.

Abb. 1460. Fühler, Fühlerlänge 0,31 mm.

Abb. 1461. Aedoeagus.

Abb. 1462. Pronotum ♂,

Abb. 1463. Pronotum ♀.

***Enicmus barimanii* RÜCKER, 2017**

Weitere Untersuchungen 2018 in Iran ergaben auch wieder einige Latridiidae, darunter auch weitere Exemplare von *Enicmus barimanii* RÜCKER, 2017, sechs Männchen und ein Weibchen, deren Aedoeagi Unterschiede zu den Aedoeagi der Erstbeschreibung aufweisen. Ich sehe dies als eine regionale Variation an, die auch bei *Enicmus rugosus* (HERBST, 1793) häufig zu finden ist, sowie bei *Corticaria serrata* (PAYKULL, 1798) (RÜCKER 2018).

Bei den Familien Curculionidae (Gattung *Plinthus* GERMAR) und Chrysomelidae (*Chrysolina purpurascens* (GERMAR)) wurden ebenfalls regionale Variationen nachgewiesen (KIPPENBERG 1980, 2004 und 2005), also nichts Ungewöhnliches bei Käfern.

Fundorte 2015 der Typenserie im Norden des Iran in der Provinz Mazandaran Sari-Dodangeh-Nejim Forest, 6 km W von Part Kola, 2051 m, 36.139060, 53.408954 Abb.1464.

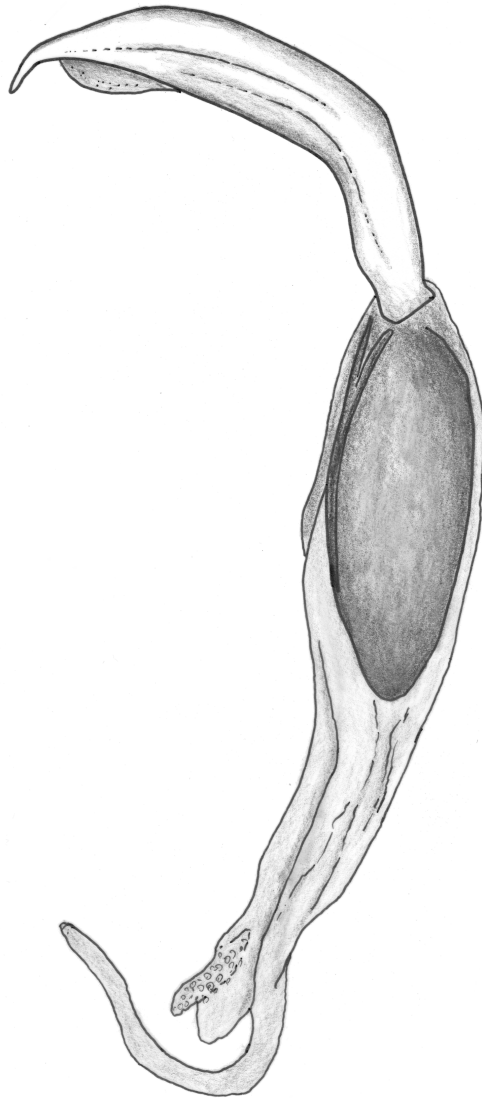
Fundorte 2017 im Norden des Iran in der Provinz Gorgan, Forest Shaskola, 1017 m, Fagus 36,77083, 54,38922, Abb. 1464.

Die Unterschiede zu den Aedoeagi aus der Provinz Gorgan sind in lateraler und ventraler Ansicht deutlich schlanker als die Aedoeagi der Typenserie. Die Anhängsel wie in Abb. 1465 sind bei allen Aedoeagi vorhanden, habituell sind in der Größe und in der Farbe der Käfer keine Unterschiede.



1464

Abb. 1464. Übersichtskarte des Iran mit den beiden Provinzen Mazandaran und Gorgan.

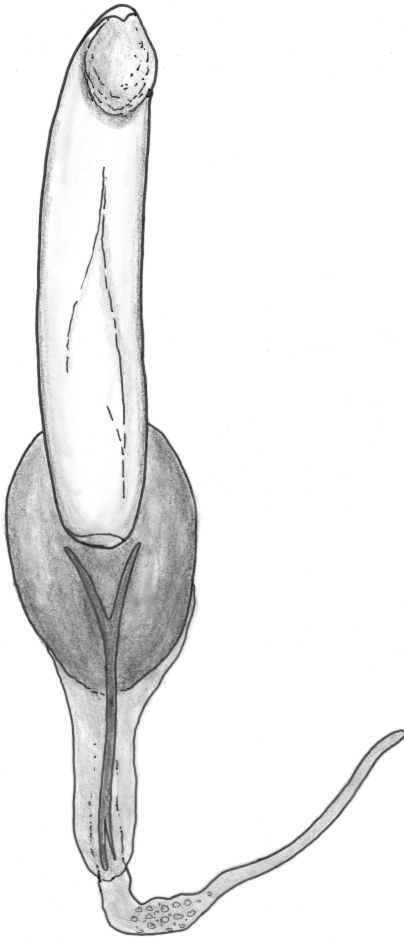


1465

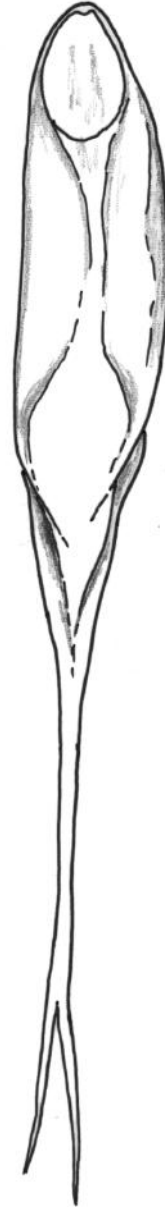
Abb. 1465 *Enicmus barimanii* RÜCKER, 2017.

Aedoeagus lateral.

Iran, Provinz Gorgan, Forest Shaskola, 1017 m, *Fagus orientalis* primeval,
UM1, 24.VI.2018 window trap, 36,77083 / 54,38922, leg. JAHED RAZI.



1466

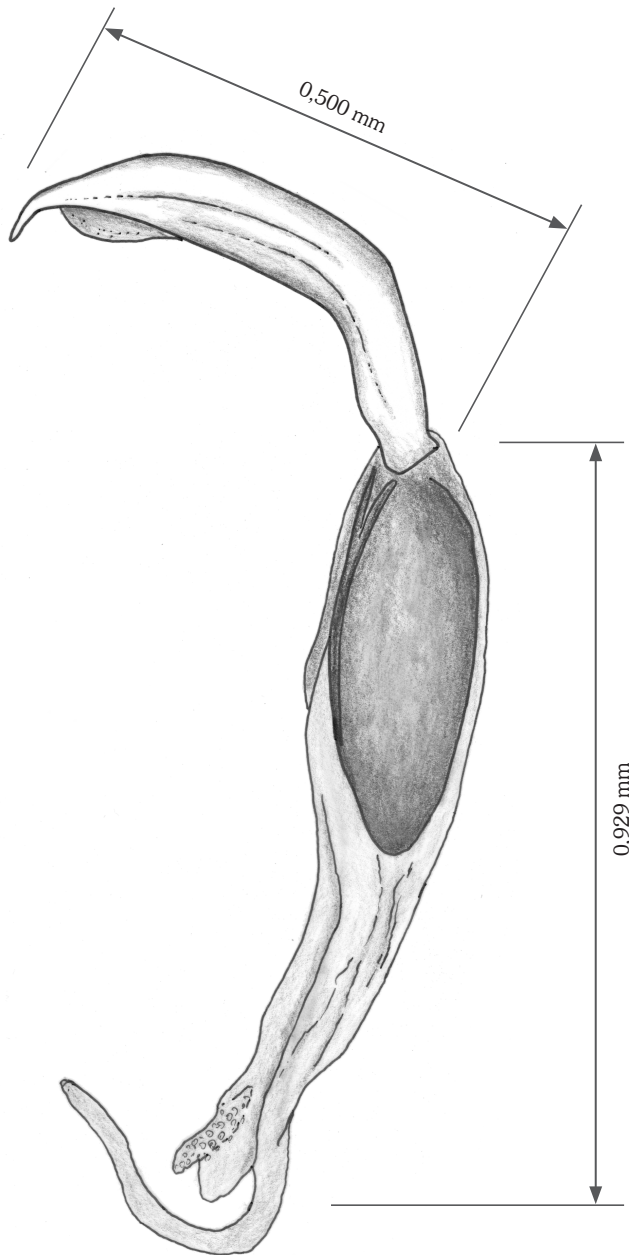


1467

Abb. 1466–1467. *Enicmus barimani* RÜCKER, 2017.

Abb. 1466. Aedeagus ventrale Aufsicht.
Iran, Provinz Gorgan, Forest Shaskola, 1017 m, *Fagus orientalis* primeval,
UM1, 24.VI.2018 window trap, 36,77083 / 54,38922, leg. Jahed Razi.

Abb. 1467. Aedeagus ventral Holotypus und Serie der Paratypen.
Iran: Mazandaran, Sari-Dodangeh-Nejim Forest, 6 km w Part Kola, 2051 m,
36.139060, 53.408954, *Fagus orientalis* trap



1468

Abb. 1468. *Enicmus barimanii* RÜCKER, 2017.

Abb. 1468. Aedoeagus lateral, Maße des Aedoeagus in lateraler Ansicht nach Präparation mit allen Anhängen.

Literaturverzeichnis

- BELON, M.-J. 1887. Lathridiens nouveaux ou peu connus. *Revue d'Entomologie* VI, No. 7: 215-229.
- HAGSTRUM, D. W. & SUBRAMANYAM, B. 2009. Stored-Product InsectResource. AACCI International, St. Paul, Minnesota, 509 Seiten.
- HETSCHKO, A. 1926. Coleopterorum Catalogus auspiciis et auxilio Pars 85: Lathridiidae. In: JUNK, W. & SCHENKLING, S. (eds.): Coleopterorum Catalogus. W. JUNK, Berlin, 86 Seiten.
- HINTON, H. E. 1941. Coleoptera associated with stored Nepal barley in Peru. *Bulletin of Entomological Research* 32: 175-183.
- HORION, A. 1961. Faunistik der mitteleuropäischen Käfer. Clavicornia 2. Teil. Bd. VIII – Feyer, Überlingen-Bodensee, 1-56.
- JOHNSON C. 1989. Studies on the genus *Corticaria* MARSHAM (Coleoptera: Latridiidae), Part 3. *Entomologist's Gazette* 40: 79-90.
- JOHNSON, C. 1973. A new Rhodesian species of *Metophtalmus* WOLLASTON (Col., Latridiidae), and a key to the species of the Ethiopian region. *The Entomologist*, London 106 (1318): 66-71.
- JOHNSON, C. 2007. Latridiidae. Pp. 74-80, 635-648. – In: LÖBL, I. & SMETANA, A. (eds): Catalogue of Palaearctic Coleoptera, Vol. 4. – Apollo Books, Stenstrup, 935 Seiten.
- JOHNSON C. 2007. Family Latridiidae Erichson, 1842. Pp. 635-648. In LÖBL I. & SMETANA A. (eds.): Catalogue of Palaearctic Coleoptera. Volume 4. Elateroidea – Derodontoidea – Bostrichoidea – Lymexyloidea – Cleroidea – Cucujoidea. Apollo Books, Stenstrup, 935 pp.
- KIPPENBERG H. 1980. Die mitteleuropäischen Arten der Gattung *Plinthus* GERM. *Entomologische Blätter* 76 (2-3): 73-140.
- KIPPENBERG H. 2004. Diversity of aedeagus shape in Slovenian population of *Chrysolina purpurascens* (GERMAR) (Chrysomelidae). In P. JOLIVET, J. A. SANTIAGO-BLAY and M. SCHMITT (eds.): New Developments in the Biology of Chrysomelidae. SPB Academic Publishing bv, The Hague, The Netherlands, pp. 659-665.
- KIPPENBERG H. 2005. Über die Vielfalt von *Chrysolina purpurascens*-Formen in Slowenien (Coleoptera: Chrysomelidae). *Acta Entomologica Slovenica* 13 (1): 59-62.
- OTERO J. C., BENYAHIA Y., BRUSTEL H. 2017. Faunistic notes on Cryptophagidae and Latridiidae of Talassemtane National Park, Western Rif, Morocco, with the description of a new species (Coleoptera, Cucujoidea). *Zoo Keys* 668: 69-82. <https://doi.org/10.3897/zoo-keys.668.11347>
- OTTO J. 1978. Neue Latridiidae aus dem Naturhistorischen Museum Basel (Col.). *Entomologica Basiliensia* 3: 287-290.
- OTTO J. 1979. Insects of Saudi Arabia. Coleoptera: Fam. Latridiidae: Subfamilie Corticariinae. *Fauna of Saudi Arabia* 1: 232-234.
- PADIL 2018. <http://www.padil.gov.au/pests-and-diseases/pest/other-names/142846>
- PLEWA R. & JAWORSKY T. 2019. *Euchionellus zanzibaricus* (BELON, 1887) (Coleoptera: Latridiidae) – gatunek omylkowo wykazany z Polski. *Acta entomologica silesiana* 27: (online 002) 1-4
- PLEVA R. & RÜCKER W. H. 2020. A new species of *Dienerella* REITTER, 1911 from Kazakhstan, with an updated checklist of *Dienerella* species and summary of their distribution (Coleoptera: Latridiidae: Latridiinae). *Zootaxa* 4722(1): 050-058.
- REIKE, H.-P. 2018. im Druck). Auf der Jagd nach erlesener Beute in den Tropen Deutschlands: *Euchionellus zanzibaricus* (BELON, 1887) im „Gondwanaland“ des Zoo Leipzig (Coleoptera, Latridiidae). *Entomologische Nachrichten und Berichte*.
- REIKE, H.-P. & RÜCKER, W. H. 2010. Zwei neue Arten von *Metophtalmus* MOTSCHULSKY, 1850 aus Teneriffa (Coleoptera: Latridiidae). *Entomologische Zeitschrift* 120 (1): 31-37.
- REIKE, H.-P. 2019a. *Corticaria wolfgangrueckeri* spec. nov. - eine neue Corticariinae aus Turkmenistan (Coleoptera: Latridiidae). *Folia Latridiidae et Merophysiidae* 2: 17-19.
- REIKE, H.-P. 2019b. Designation of a neotype for *Dienerella elongata* (CURTIS, 1830) (Coleoptera: Latridiidae). *Folia Latridiidae et Merophysiidae* 2: 47-49.
- REITTER, E. 1887. Bestimmungs-Tabellen der euro-

- päischen Coleopteren. III. Heft. Enthaltend die Familien: Scaphidiidae, Lathridiidae und Dermestidae (Zweite vermehrte und verbesserte Auflage). *Verhandlungen des naturforschenden Vereins in Brünn* **25**: 3–75.
- REITTER, E. 1891. Neue Coleopteren aus Europa, den angrenzenden Ländern und Sibirien, mit Bemerkungen über bekannte Arten. *Deutsche Entomologische Zeitschrift* 1891, Heft **1**: 17–36.
- REITTER, E. 1908. Analytische Übersicht der Arten der Coleopterengattung *Metopthalmus* WOLL. aus der paläarktischen Fauna. (Col.). *Deutsche Entomologische Zeitschrift* **1908**: 133–136.
- RÜCKER W. H. 1985. Insects of Saudi Arabia. A new species of *Melanophthalma* from Saudi Arabia (Coleoptera: Latridiidae). In *Fauna of Saudi Arabia* 6 (1984): 249–250.
- RÜCKER W. H. 1998. Una nuova specie Italiana di Latridiidae: *Dienerella angelinii* nov. sp. (Coleoptera). *Doriana Annali del Museo Civico di Storia naturale "G. Doria"*, Genova, vol. VI-I-N. **8** (306): 1–7.
- RÜCKER, W. H. 2005. Latridiidae ERICHSON, 1842. Bestimmungstabeller der europäischen Gattungen. *Latridiidae* **3**: 5–8.
- RÜCKER W. H. 2008. Order Coleoptera, family Latridiidae. Pp. 240–253. In HARTEN A. VAN (ed.): *Arthropod Fauna of the United Arab Emirates. Volume 1. Multiply Marketing Consultancy Services, Abu Dhabi, 754 pp.*
- RÜCKER, W. H. 2010. The Minute Brown Scavenger Beetles (Coleoptera: Latridiidae) of Papua Indonesia. – <https://www.papua-insects.nl/insect%20orders/Coleoptera/Latridiidae/Latridiidae.htm>.
- RÜCKER W. H. 2011. Order Coleoptera, family Latridiidae. Description of a new species of *Corticaria* MARSHAM, 1802. Pp. 246–249. In HARTEN A. VAN (ed.): *Arthropod Fauna of the United Arab Emirates. Volume 4. Multiply Marketing Consultancy Services, Abu Dhabi, 832 pp.*
- RÜCKER W. H. 2012. Description of a new *Corticaria* from Socotra Island (Coleoptera; Latridiidae). *ACTA Entomologica Musei Nationalis Pragae*.
- RÜCKER, W. H. & POGGI R. 2013. Descrizione di *Dienerella polyhymnia*, Nuova Specie Mediterranea di Latridiidae, con note su *Dienerella elongata* (CURTIS, 1830) (Coleoptera). *Annali del Museo Civico di Storia naturale "G. Doria"*, Genova, **105** (30): 447–458.
- RÜCKER W. H. 2018. Latridiidae und Merophysiidae der West-Paläarktis (ISBN 978-3-00-059378-9), Selbstverlag Wolfgang H. Rücker, Neuwied, 676 pp.
- RÜCKER, W. H. 2019a. Eine neue Art der Gattung *Metopthalmus* MOTSCHULSKY, 1850 aus Griechenland (Coleoptera: Latridiidae). *Folia Latridiidae et Merophysiidae* **2**: 7–10.
- RÜCKER W. H. 2019b. Eine neue Art der Gattung *Enicmus* C. G. THOMSON, 1859 aus Finland (Coleoptera: Latridiidae). *Folia Latridiidae et Merophysiidae* **2**: 29–32. (ISSN 2512-8396).
- RÜCKER W. H. 2019c. Studien zur Gattung *Lithostygnus* (BROUN, 1886 mit Typenrevision von *Lithostygnus minor* BROUN, 1893 und Variationen bei *Lithostygnus serripennis* BROUN, 1914 Coleoptera: Latridiidae). *Folia Latridiidae et Merophysiidae* **2**: 41–46. (ISSN 2512-8396).
- SCHAWALLER W. & PURCHHARDT L. 2012. *Nanocaeus hlavaci* gen. & sp. nov. – first record of the tribe Gnathidiini (Coleoptera: Tenebrionidae: Diaperinae) from the Socotra Archipelago. Pp. 303–314. In HÁJEK J. & BEZDEK J. (eds.): *Insect biodiversity of the Socotra Archipelago. Acta Entomologica Musei Nationalis Pragae* 52 (supplementum 2): i–vi + 1–557.
- SCHILSKY, J. 1909. Systematisches Verzeichnis der Käfer Deutschlands und Deutsch-Oesterreichs. Mit besonderer Angabe der geographischen Verbreitung der Käferarten in diesem Faunengebiete. Zugleich ein Käferverzeichnis der Mark Brandenburg. Verlag von Strecker & Schröder, Stuttgart, 221 Seiten.
- SCHÜNEMANN, J. 2019. Zwei Neufunde von *Corticaria alemannica* Schiller, 1984 im Schwarzwald (Baden Württemberg, Deutschland (Coleoptera: Merophysiidae). *Folia Latridiidae et Merophysiidae* **2**: 15–16.
- SCOTT, H. 1922. Results of the Percy Sladen Trust Expedition to the Indian Ocean: Latridiidae. *The Transactions of the Linnean Society of London (2nd series, Zoology)* **18**: 245–253.

- STALLING, T. 2019. Aktuelle Funde einiger Merophysyinae und eine neue Wirtsameise von *Reitteria escherichi* WASMANN, 1896 von der Insel Kos, Griechenland (Coleoptera: Merophysyidae). *Folia Latridiidae et Merophysyidae* **2**: 11–13.
- TRIKHLEB, T. 2008. Laboratory rearing, description of pre-imaginal stages, and ontogenesis of four species of Latridiidae (Coleoptera). *Latridiidae* **6**: 11–21.
- TELFER M. G. & RÜCKER H. W. 2019. Description of *Corticaria culminis* sp. nov. (Coleoptera: Latridiidae), a new species discovered in Britain. *The Coleopterist* **28 (3)**: 101–107.
- VINCENT R. 1990a. Contribution à l'étude de quelques espèces françaises du genre *Dienerella* REITTER, 1911 (Coleoptera, Latridiidae). *Revue française d'Entomologie* (N.S.) **12**: 29–36.
- VINCENT R. 1990b. Nouvelle contribution à l'étude du genre *Dienerella* REITTER 1911 (Coleoptera, Latridiidae). *Nouvelle Revue d'Entomologie* (N.S.) **7**: 263–266.
- VINCENT R. 1991. Nouveau statut de *Dienerella separanda* (REITTER) 1887 et description d'une espèce nouvelle d'Espagne *D. huguettae* n. sp. (Coleoptera, Latridiidae). *L'Entomologiste* **47**: 241–248.
- VINCENT R. 1994. Nouvelle contribution à l'étude du genre *Dienerella* REITTER 1911, *D. besucheti* espèce nouvelle du Maroc (Coleoptera, Latridiidae). *Nouvelle Revue d'Entomologie* (N.S.) **11**: 91–93.

Abbildungsnachweis

Alle Zeichnungen, Abbildungen und Fotos wurden vom Autor nach Holotypen, Paratypen, Lectotypen oder mit Typenmaterial abgeglichenen Exemplaren angefertigt, mit Ausnahme derjenigen Zeichnungen oder Abbildungen und Fotos, die nachfolgend aufgeführt sind.

Der Autor bedankt sich sehr herzlich für die Abbildungslizenzen bei:

Dr. Hans-Peter Reike

Abbildungen: 1412 bis 1423, 1430 bis 1442,
1445–1446.

Acronyme

NMPC Národní Muzeum, Prague, Tschechische Republik
WRCN Wolfgang H. Rucker Collection, Neuwied, Deutschland